



**YILDIZ TEKNİK ÜNİVERSİTESİ**  
**FEN BİLİMLERİ ENSTİTÜSÜ**

Seyreltik Civa Çöz. Küm. Civa Mik. Tay.

Doktora Tezi

**EMEL ÇİNGİ**

YILDIZ ÜNİVERSİTESİ  
FEN BİLİMLERİ ENSTİTÜSÜ

15.000

1179

SEYRELTİK CİVA ÇÖZELTİLERİNDE  
KÜMÜLATİF CİVA MİKTARININ TAYINI

DOKTORA TEZİ

EMEL ÇINGİ

HAZİRAN 1989

YILDIZ TEKNİK ÜNİVERSİTESİ  
KÜTÜPHANE DOKÜMANTASYON  
DAİRE BAŞKANLIĞI

R 210

Kot :..... 34 .....

Alındığı Yer :.... Fen. Bilimleri. Ends. ....

Tarih :.... 19.03.1992 .....

Fatura :..... - .....

Fiyatı :.... 15.000.- TL .....

Ayniyat No :.... 1/1 .....

Kayıt No :.... 48224 .....

UDC :.... 530 .....

Ek :.....



YILDIZ ÜNİVERSİTESİ  
FEN BİLİMLERİ ENSTİTÜSÜ

YILDIZ ÜNİVERSİTESİ

D.B. No 46064

SEYRELTİK CİVA ÇÖZELTİLERİNDE  
KÜMÜLATİF CİVA MIKTARININ TAYİNİ

Prof. Dr. M. Nihat Yıldız

Geliştirilen tekniklerin teorik ve deneyimlerinden  
yola çıkılarak elde edilen sonuçlar,

Çalışmada 36 molar hiçbir yardım olmadan  
geleneksel tekniklerden daha iyi sonuçlar elde edilen  
36

Dünyada ilk kez bu tür bir çalışma da burada gerçekleştirilen  
Yazılı, Dava, Tez, Döküman ve Görüntü kaynakları mevcuttur.

DOKTORA TEZİ

EMEL ÇINGİ



HAZİRAN 1989

İçindekiler

Sayfa No

TEŞEKKÜR

Tez Yöneticiliğimi üstlenen ve çalışmayı destekleyen  
Prof.Dr.Şevket ERK'e,

Çalışmanın her aşamasında bilgi ve deneyimlerinden  
yararlandığım Doç.Dr.Yani SKARLATOS'a,

Çalışmanın başından sonuna kadar hiçbir yardımı esir-  
gemeyen Doç.Dr.Durul ÖREN'e,

Deneysel sırasındaki titiz katkıları nedeniyle  
Yard.Doç.Dr.Süha AKÇİZ ve Arş.Gör.Macide CANTÜRK'e teşekkürü  
zeykli bir görev sayarımlı.

## İÇİNDEKİLER

	<u>Sayfa No</u>
3.1.1. Standart Civa Çevresi	22
3.2.2. Standart Kalay Çevresi	22
<b>1. BÖLÜM GİRİŞ</b>	<b>1</b>
<b>2. BÖLÜM GENEL BİLGİLER</b>	<b>3</b>
<b>2.1. Civa ve Çevreye Etkileri</b>	<b>3</b>
2.1.1. Civanın Doğada Dağılımı ve Kaynakları	3
2.1.2. Civanın Metil Civaya Dönüşmesindeki Faktörler	4
2.1.2.a) Elemental Civanın İki Değerlikli Civaya Oksidasyonu	5
2.1.2.b) Civa Sülfitin Metilasyonu	5
2.1.2.c) Civanın Dönüşümünde Sedimentin Etkisi	6
2.1.2.d) Metilasyonda pH'ın Etkisi	6
2.1.2.e) Anaerobik ve Aerobik Şartlar	7
2.1.3. Civa Zehirlenmesi Salgınlarının Tarihçesi	7
2.1.4. Civanın Toksik Etkileri	8
2.1.5. İnsanda Civa Birikimi	8
<b>2.2. Civa Analiz Yöntemleri</b>	<b>9</b>
2.2.1. Nötron Aktivasyon Yöntemi	9
2.2.2. Atomik Absorbsiyon ve Flüoresans	9
2.2.3. Kolorimetrik (Spektrofotometrik) Yöntem	9
2.2.4. Diğer Yöntemler	9
<b>2.3. Sürekli Filmlerde Elektriksel İletkenlik</b>	<b>10</b>
2.3.1. Boyut Etkisi (Size Effect)	11
2.3.2. Altın Filmin Elektriksel İletkenliğinin Kalinlığa Bağlılığı	21
<b>3. BÖLÜM İNCE ALTIN FILMIN CIVA DEDEKTÖRÜ OLARAK</b>	
<b>KULLANILMASI</b>	<b>22</b>
3.1. İnce Altın Filmlerin Elde Edilmesi	22
3.2. Gözelti Hazırlanması	22

GİRİŞ	
3.2.1. Standart Civa Çözeltisi	22
3.2.2. Standart Kalay Çözeltisi	22
3.2.3. Seyrektik Çözeltinin Hazırlanması	22
3.3. Yapılan Ölçümler	22
3.4. Ölçülerin Atomik Absorbsiyon Spektrometre (AAS) Yöntemi ile Karşılaştırılması	23
4. BÖLÜM TARTIŞMA VE SONUÇ	33
EK 1	37
KAYNAKLAR	40
ÖZGEÇMİŞ	43

Bu çalışmada, seyrektik civa çözeltilerindeki civa miktarı tayini için bly yöntemi geliştirilek anlaşılmıştır. Civanın alttan malguma olusturulan yatkınlığının diğer metallere oranı fazla olmasa ve sitinin asal metal olduğu nedeniyle civa dedektörü olarak altın film kullanılmış ve civa konsantrasyonuyla değişen fizikalik olarak da altın filme direnci ölçümüştür. "ppb" merkezindeki konsantrasyonlu dağ filmin direncinde ölçülebilir bir değişimlik tesbit edilmiştir. Boyut etkisini en az indirmek için, kalınılığı altın filme ait ortalarak serbest veilden büyük olan filmlerde ölçülmiştir.

Ölçüm ölçütü, konsantrasyonlar için elde edilen kalınlık boyut ölçütleri, birebire aynı seviye civanın alttan ölçerek yaklaşık 25 ppb'lik konsantrasyonu kadar civa tayinine ulaş veren bir yöntem olarak kullanılmışlığını göstermektedir.

## ÖZET

Civanın tüm bileşikleri -özellikle organik bileşikleri- vücuda giriş yolu ne olursa olsun zehirlidir. Doğal civa derişikliği genellikle "ppb" düzeyinde olmasına rağmen endüstri ve tarımda giderek artan civa kullanımı çevre kirliliği bakımından civayı önemli hale getirmiştir.

Suda iki değerlikli anorganik civa, elemental civa ve fenil civa bulunur. Sulardaki fiziksel, kimyasal ve biyolojik şartlar metilasyona neden olur. Bu proses çift yönlüdür. Civayı bünyesinde biriktiren deniz ürünlerinde civa metil civa formundadır.

Bu çalışmada, seyreltik civa çözeltilerindeki civa miktarı tayini için bir yöntem geliştirmek amaçlanmıştır. Civanın altınla malgama oluşturma yatkınlığının diğer metallere oranla fazla olması ve altının asal metal oluşu nedeniyle civa dedektörü olarak altın film kullanılmış ve civa konsantrasyonuyla değişen fiziksel özellik olarak da altın film direnci seçilmiştir. "ppb" mertebesindeki konsantrasyonlarda dahi film direncinde ölçülebilir bir değişiklik tespit edilmiştir. Boyut etkisini en aza indirmek için, kalınlığı altın filme ait ortalama serbest yoldan büyük olan filmlerle çalışılmıştır.

Sonuç olarak, çeşitli konsantrasyonlar için elde edilen kalibrasyon eğrileri ileri sürülen savın alt sınır olarak yaklaşık 25 ppb'lik konsantrasyona kadar civa tayinine imkan veren bir yöntem olarak kullanılabileceğini göstermektedir.

## SUMMARY

Almost all the compounds of mercury, especially the organic ones are very toxic, independent of the way they enter the human body. In spite of the fact that natural mercury concentration is of the order of "ppb", its increasing use in industry and agriculture, has made mercury and its compounds very important as environmental pollutants.

In water, mercury exists in its elemental form, bivalent inorganic form or as phenyl mercury. Methylation of mercury occurs in water because of physical, chemical and biological conditions. This process is a reversible one. As a result of the methylation process, mercury accumulates as methyl mercury in sea products.

In this work, a method for the quantitative determination of mercury in diluted aqueous solutions has been developed. Since, mercury has a greater tendency to form amalgams with gold than other metals, and since gold is noble metal, a gold film was used as mercury detector in the experiments. The resistance of the film was chosen as the changing physical property with concentration of mercury. Even for the concentrations at "ppb" levels, measurable changes of the film resistance were observed. In order to minimize the size effect, films with thicknesses greater than the mean free paths of the electrons were used.

It may be concluded that, the calibration curves, drawn for various concentrations of mercury show that this method can be used for quantitative determination of mercury in aqueous solutions with a concentration greater than 25 ppb.

## 1. BÖLÜM GİRİŞ

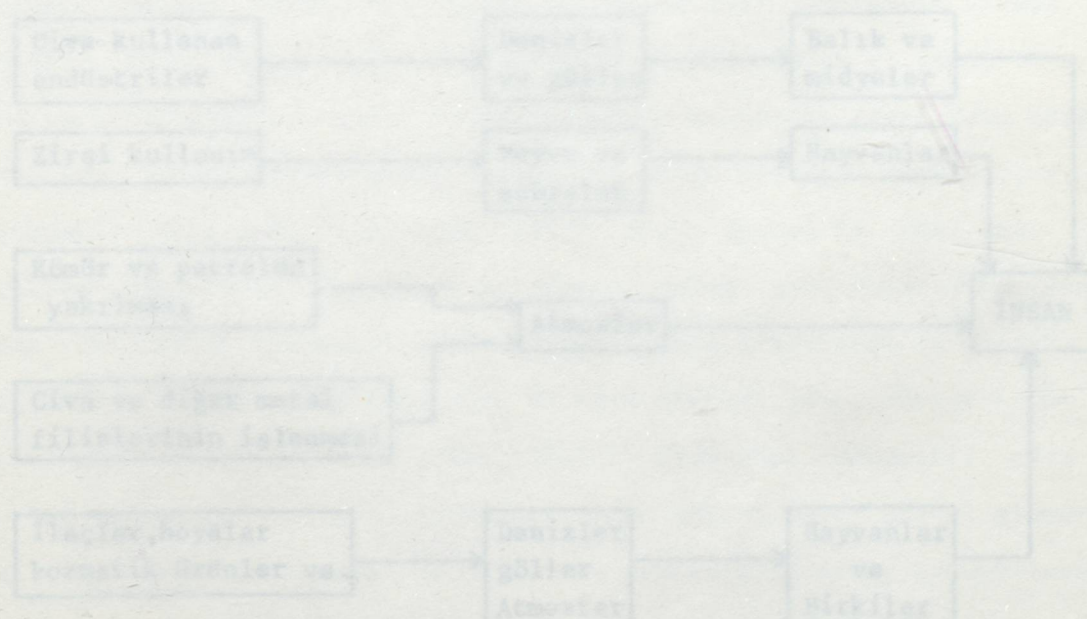
Civa miktarları doğal değerlerinin üstüne çıktığı zaman bütün canlılar civayı biriktirme özelliğine sahiptir. Su besin zinciri civa derişliğinin biyolojik olarak arttığı en önemli yoldur. Besin zinciri boyunca bitkilerden hayvanlara doğru yükseldikçe civa derişliği de orantılı olarak artmakta ve bunun sonucu olarak da en yüksek civa miktarları besin zincirinin en sonunda balıklarda, balık yiyan kuşlarda ve insanda görülmektedir. Civanın insana ulaşım yollarından en önemlisi besinler ve özellikle balık ve midye gibi su ürünleridir. Ağızdan alındığı zaman önemli bir toksik etkisi olmayan sıvı halindeki elemental civanın tüm organik ve anorganik bileşikleri vucuda giriş yolları ne olursa olsun zehirlidir (1).

Sulu ve katı örneklerdeki civa miktarının ölçülmesi çevre kirliliğinin boyutlarının belirtilmesinde oldukça önemlidir. Bu çalışmada eser miktardaki civanın tayini için bir yöntem önerildi. Civanın altına ilgisi çok eskiden beri bilinmektedir. Elemental civanın ince altın filmde absorbsiyonu filmin direncinde değişiklik oluşturur. Bu değişikliğin ölçülmesi civa konsantrasyonunun bir ölçüsüdür. Altın film seyreltik civa çözeltisine daldırıldığında yüzey etkisini diğer mümkün etkilerden -alışım oluşması, intermetalik bileşik oluşması vs.- ayırmak mümkün değildir. Ancak altın filme ait ortalaması serbest yol değerinden ( $420 \text{ \AA}^0$ ) daha kalın film kullanmakla boyut etkilerini en aza indirmek mümkündür. Bu durumda dirençte değişiklik sadece civanın varlığından ileri gelecektir. Ancak, toplanan civa miktarı ve civanın toplanma süresi kalınlığa bağlıdır. Film elde edildikten sonra çeşitli konsantrasyonlar için bir kalibrasyon eğrisi elde edilerek istenilen konsantrasyonun tayini önerilen yöntemle mümkündür. Çevre kirliliğinde etken olan  $\text{Hg}^{2+}$  dır.  $\text{Hg}^{2+} \rightleftharpoons \text{Hg}^0$  dönüşümü çevre şartlarında mümkün olmaktadır. Bu nedenle, standart çö-

zelti  $Hg^{2+}$  için hazırlandı ve kalay (II) klorür kullanılarak iyonik civa metalik hale indirgenerek çalışıldı.

Balık ve kabuklu deniz hayvanlarının yenmesi için 0,4 ppm güvenilirlik limitidir. (ABD, Japonya) Zehirlenme belirtilerinin başlıya-  
ağı saç civa derişikliği ise 60 ppm, güvenilirlik limiti 6 ppm.dir.  
Önerilen yöntemle 25 ppb ölçülmeli mümkündür.

Neden bu kadar düşük seviyelerde? 1980 son orta civanın  
yoksas toprak malzemeleri, su ve su kanalları, kimyasal fabrikalar, elektrik-  
li araçlar, balyo, mayaçlar, elektrik, tarsus ve diğerleri ol-  
muş sınırları aşmıştır. Bu nedenle civanın kaynaklarından civan  
gerçek ölçekte doğa devamlılığının birincisi - Şekil 2.1'de açıklan-  
maktadır. Ancak şunu da



Şekil 2.1. Civa sirkülyasyonu

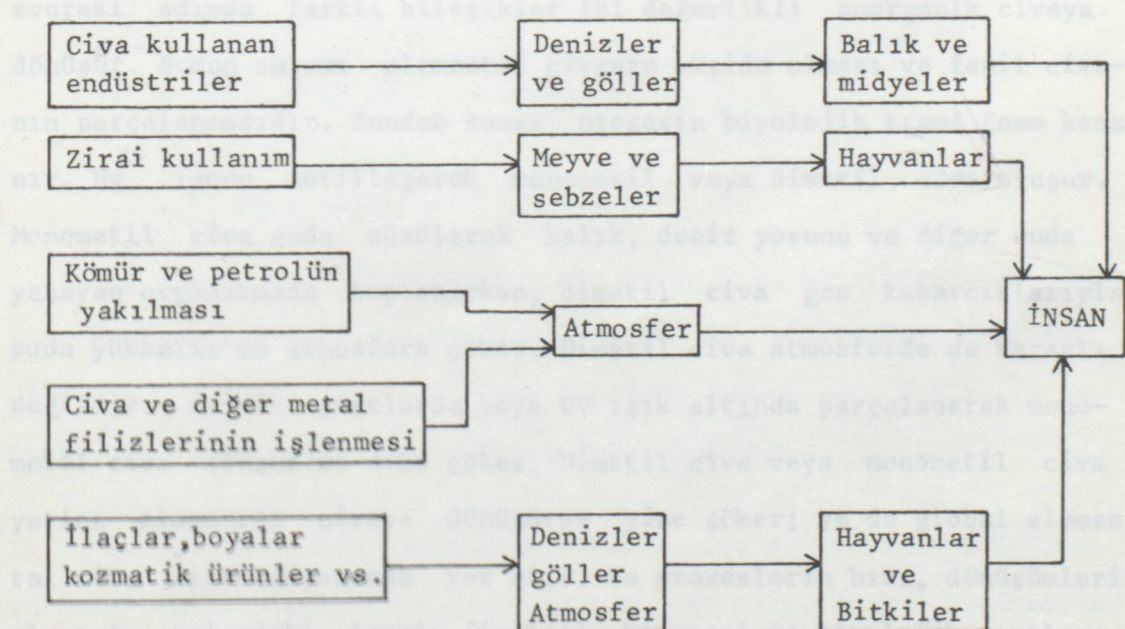
## 2.BÖLÜM GENEL BİLGİLER

### 2.1. CİVA VE ÇEVREYE ETKİLERİ

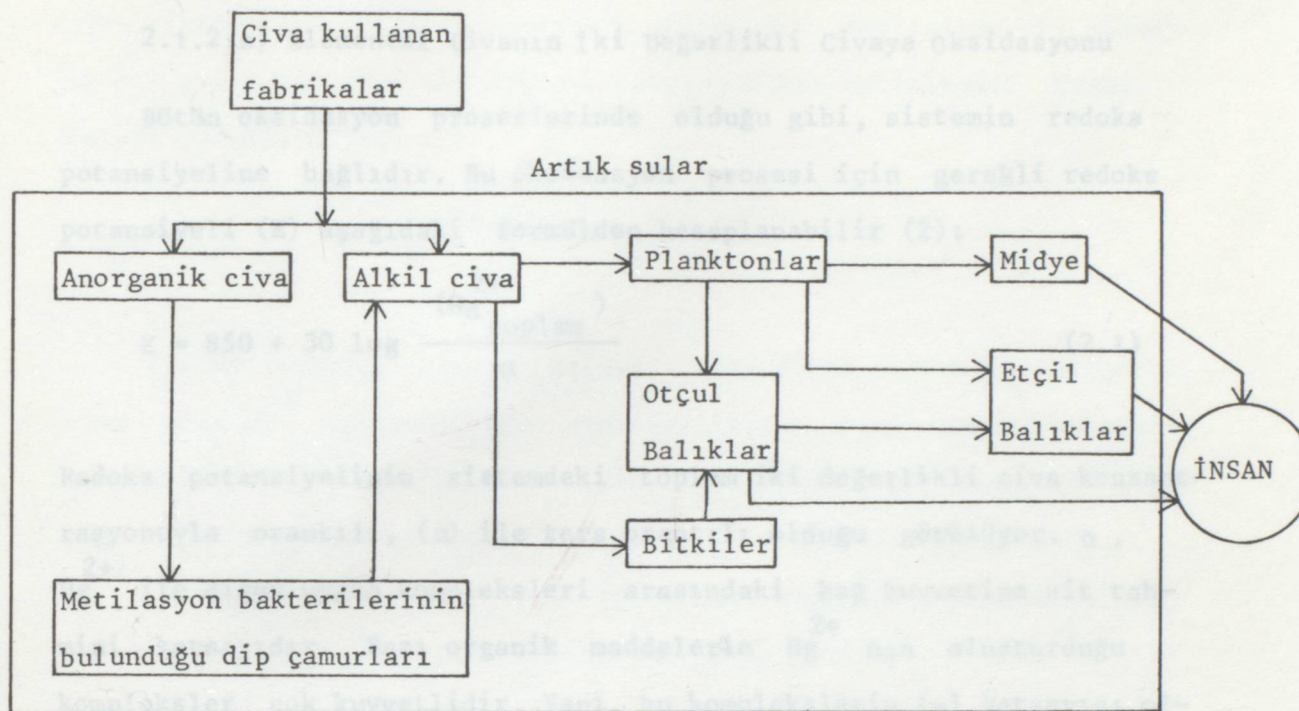
#### 2.1.1. CİVANIN DOĞADA DAĞILIMI VE KAYNAKLARI

Civa toprakta, nehir, göl, deniz ve yağmur suyunda, atmosferde, bütün canlılarda ve bunun sonucu olarak insanın tüm besin maddelerinde bulunur. Doğal derişiklikler genellikle ppb (ng/ml veya ng/g) düzeyindedir. Toprakta 10-150 ppb, deniz suyunda 0,005-5,0 ppb, yağmur suyunda ise 0,05-0,48 ppb civa bulunmuştur (1).

Bunun yanısıra dünya üretimi yılda 10000 ton olan civanın başlıca kullanım alanları sırasıyla klor-alkali fabrikaları, elektrikli araçlar, boyalar, çeşitli cihazlar, dişçilik, tarım ve diğerleri olarak sınıflandırılabilir. Tüm bu kullanım alanlarından kaynaklanan civa çevrede bulunan doğal derişikliklere eklenip Şekil 2.1'de açıklanlığı gibi insana ulaşmaktadır.



Şekil 2.1. Cıva sirkülasyonu



Şekil 2.2. Genelleştirilmiş Su besin zinciri.

### 2.1.2. CİVANIN METİL CİVAYA DÖNÜŞMESİNDEKİ FAKTÖRLER

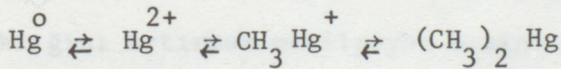
Suda genellikle iki değerlikli anorganik civa, elemental civa ve fenil civa bulunur. Bu üç bileşik de çeşitli nedenlerle çöker. Bir sonraki adımda farklı bileşikler iki değerlikli anorganik civaya dönüşür. Bunun anlamı elemental civanın okside olması ve fenil civanın parçalanmasıdır. Bundan sonra prosesin biyolojik kısmı önem kazanır.  $Hg^{2+}$  iyonu metilleşerek monometil veya dimetil civa oluşur. Monometil civa suda süzülerek balık, deniz yosunu ve diğer suda yaşayan organizmada toplanırken, dimetil civa gaz kabarcıklarıyla suda yükselir ve atmosfere çıkar. Dimetil civa atmosferde de kararlı değildir. Asidik şartlarda veya UV ışık altında parçalanarak monometil civa oluşur ve dibe çöker. Dimetil civa veya monometil civa yerine elemental civaya dönüşürse yine çöker; ya da global elemental civa sirkülasyonunda yer alır. Bu proseslerin hızı, dönüşümlerin olduğu sulardaki farklı fiziksel, kimyasal ve biyolojik şartlara bağlıdır (7).

### 2.1.2.a) Elemental Civanın İki Değerlikli Civaya Oksidasyonu

Bütün oksidasyon proseslerinde olduğu gibi, sistemin redoks potansiyeline bağlıdır. Bu oksidasyon prosesi için gerekli redoks potansiyeli ( $E$ ) aşağıdaki formülden hesaplanabilir (2):

$$E = 850 + 30 \log \frac{(Hg^{2+})_{\text{toplam}}}{\alpha} \quad (2.1)$$

Redoks potansiyelinin sistemdeki toplam iki değerlikli civa konsantrasyonuyla orantılı, ( $\alpha$ ) ile ters orantılı olduğu görülüyor.  $\alpha$ ,  $Hg^{2+}$  ile diğer uygun kompleksleri arasındaki bağ kuvvetine ait tahmini katsayıdır. Bazı organik maddelerle  $Hg^{2+}$ ının oluşturduğu kompleksler çok kuvvetlidir. Yani, bu komplekslerin ( $\alpha$ ) katsayısı oldukça yüksektir. ( $\alpha$ ) katsayısı, bağ kuvvetleri bilinen diğer civa kompleksleriyle karşılaştırılarak tahmin edilebilir ve denklemdeki  $Hg^{2+}$  konsentrasyonu için yerine konularak bir sayı bulunabilir. Bu sayı, suya ait çevre için uygundur. Bu oksidasyon organik maddelerle ve suya ait sisteme yer alan oksijenle oldukça çabuk oluşur. Böylece, bu oksidasyonun sularda olduğu söylenebilir.

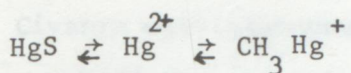


### 2.1.2.b) Civa Sülfitin Metilasyonu

İki değerlikli civanın özel bir formu civa sülfittir. Civa sülfit, metilasyon meydana gelmeden önce okside olur; fakat elemental civa ile aynı rolü oynamaz. Civa sülfitin teorik çözülebilirlik çarpanı  $10^{-53}$  dür; yani, hemen hemen suda çözülmez.

Metilasyon için uygun iki değerlikli civa oluşmasında sülfitten sülfata sülfür gurubunun oksidasyonu yer alır. Bu saf bir kimyasal proses olabileceği gibi, biyolojik proses de olabilir. İster elemental

civa, ister civa sülfitle başlansın, biyolojik metilasyon iki aşamalı bir prosesdir. Her iki halde de prosesin hız belirleyici kısmı farklı aşamalarıdır.



Birçok deneyde, suya ait ortama veya diğer sistemlere elemental civa veya  $\text{Hg}^{2+}$  eklendiğinde aynı metilasyon hızı elde edilmektedir. Bu gösterir ki, elemental civa için reaksiyonda son adım; yani biyolojik metilasyon hız belirleyicidir. Civa sülfit eklendiğinde,  $\text{Hg}^{2+}$  nin eklendiği aynı peryot içinde çok küçük miktarda metil civa oluşmaktadır. Laboratuvar testlerinden, iyonik civa ( $\text{Hg}^{2+}$ ) ile civa sülfitin metilasyon hızları arasındaki oran yaklaşık  $1:10^{-3}$  gibi gözükmeaktadır (2). Bu halde ilk oksidasyon aşaması hız belirleyicidir.

#### 2.1.2.c) Civanın Dönüşümünde Sedimentin Etkisi

Sediment, civanın dönüşümünde çok önemli rol oynar. Metilasyon hızı sedimentteki genel mikrobiyolojik aktivite ile ilgilidir. Mikrobiyolojik aktiviyeti artırmak, yani besleyiciler eklemek ve su sıcaklığını artırmak metilasyon hızını artıracaktır.

#### 2.1.2.d) Metilasyonda pH'ın Etkisi

Laboratuvar testleri suda pH düşük ise balıkta yüksek civa toplandığını göstermektedir. Monometil civa düşük pH'da, dimetil civa ise yüksek pH'da oluşmaktadır. Dimetil civa sudan ayrılmakta ve balıkta toplanamamaktadır. Fakat, bundan önce şartlar monometil civa oluşturmaya uygundur.

### 2.1.2.e) Anaerobik ve Aerobik Şartlar

Civanın metilasyonunda tartışılacak diğer bir faktör anaerobik ve aerobik şartlardır.

Civanın metilasyonunun incelendiği ilk sistem Wood ve arkadaşlarının açıkladığı gibi methyl cobalamine (metil vitamin B<sub>12</sub>)'dır. (2). Bu, anaerobik prosesdir ve sadece oksijen yokluğunda oluşur. Civanın metilasyonu için diğer bir metod, iki değerlikli anorganik civa ve homocysteine kompleksleridir. Civa homocysteine ile çevrelendiginde, civanın metilleşmesi yerine metil civa monocysteine oluşmaktadır. Bu ikinci proses Laudner'e göre (2) anaerobik değildir. Laboratuvar testleri, metilasyon aktivitesinin çoğunlukla anaerobik şartlar altında, aerobik şartlardakine göre daha yüksek olduğunu göstermektedir. Fakat, göl veya nehir yapısı incelendiğinde oksijen olmadığı zaman hidrojen sülfitin olduğu ve sonuçta civa sülfit meydana geldiği görülür. Anaerobik şartlarda civa sülfitten metilasyon meydana gelmemektedir. Böylece, tatlı suda yüksek metilasyon hızı bakımından hidrojen sülfitin varlığı ve sonuçta civa sülfitin oluşması nedeniyle aerobik şartlar, anaerobik şartlara göre daha uygundur.

### 2.1.3. CİVA ZEHİRLENMESİ SALGINLARININ TARİHÇESİ

Metil civanın toksik etkisi diğer civa bileşiklerinden daha fazladır. Balıkta civa metil civa şeklindedir (39). Civa bileşiklerinin endüstride ve tarımda artan bir şekilde kullanılması civa kirliliğinin öneminin giderek artmasına yol açmıştır.

1954 yılına kadar yalnız 39 organik civa zehirlenmesi kaydedilmiş olmasına rağmen, bu tarihten sonra 7 önemli civa zehirlenmesi salgını ortaya çıkmıştır. Bu salgınlar sonucu civa ile ilişkisi olmayan yaklaşık 600 insan yaşamını yitirmiştir. Tablo 2.1 (1).

Yer ve Yıl	Nedeni	Hasta Sayısı	Resmi ölü Sayısı
Minamata-Japonya 1953-1974	Fabrika artıklarından kaynaklanan civayı bünsesinde biriktiren deniz ürünlerinin tüketilmesi	798	107
Niyagara-Japonya 1965		47	7
Irak 1956	Alkil civa ile ilaçlanmış tohumluk buğdayın yenilmesi	100	14
Irak 1960		370	-
Pakistan 1961		100	4
Guatemala 1965		45	20
Irak 1972		6530	459

Tablo 2.1. Civa Zehirlenmesi Salgınları

#### 2.1.4. CİVANIN TOKSİK ETKİLERİ

Ağızdan alındığı zaman önemli bir toksik etkisi olmayan sıvı halindeki elemental civanın tüm anorganik ve organik bileşikleri vücuta giriş yolları ne olursa olsun(deri, solunum yolları ve gastrointeztnal yoldan) zehirlidir. Bunlar arasında özellikle organik civa bileşikleri diğerlerinden daha zehirlidir. Ayrıca, organik civa bileşikleri içinde yalnız alkil civa bileşiklerinin kan-beyin engelini aşarak merkezi sinir sistemini etkiledikleri sanılmaktadır. Civanın insan vücutunda organlara göre dağılımı böbrek, karaciğer, kan ve beyin şeklindedir (1).

#### 2.1.5. İNSANDA CİVA BİRİKİMİ

Kan ve saç insan vücutundaki civa miktarının ölçülmesinde ve doyaylı olarak çevre kirliliğinin boyutlarının belirtilmesinde en çok kullanılan örneklerdir. Bu çalışmalarda saatki civa derişikliği ve yenilen balık miktarları arasında, özellikle çevre kirliliğinin fazla olduğu bölgelerde lineer ilişkiler bulunmuştur (1).

9

ABD ve Japonya'da 0,4 ppm 'in üstünde civa içeren balık ve kabuklu deniz hayvanlarının yenilmesi tehlikeli olarak kabul edilmektedir. İnsanda zehirlenme belirtilerinin başlıyalıbileceği en düşük saç civa derişikliği 60 ppm ( $\mu\text{g}/\text{ml}$  veya  $\mu\text{g}/\text{g}$ ) ve bunun 10 kat azı olan 6 ppm "güvenirlik limiti" olarak kabul edilmiştir.

## 2.2. CİVA ANALİZ YÖNTEMLERİ

### 2.2.1. Nötron Aktivasyon Yöntemi

Bu yöntemin temeli, nötron bombardımanı ile ışınlanmış örnekteki civa izotoplarının radyoaktivitelerinin ölçülmesine dayanır. Bu yöntemin civa analizi için çok duyarlı ve güvenilir olmasına karşın, analizlerin uzun zaman alması ve oldukça pahalı olması gibi sakıncaları vardır.

### 2.2.2. Atomik Absorbsiyon ve Flüoresans

a) Alevle veya ısıtarak buharlaştırma, alevsiz yöntemler, UV fotometreyle doğrudan hava analizleri, vs.

b) "Soğuk buhar" yöntemleri. ( $\text{Hg}^{2+}$  yi Hg buharına indirgediktan sonra ölçüm).

### 2.2.3. Kolorimetrik (Spektrofotometrik) Yöntem

Ditizon veya diğer ayıraçlar (fluorometrik yöntemler) kullanılarak çözeltideki civa ayrılır. Ditizon, civa ve diğer metal iyonları ile renkli kompleksler oluşturduğundan, çözeltinin absorbsiyonu kolorimetrik olarak ölçülp civa derişikliği saptanır. Bu yöntem, duyarlılığının az ve analiz işlemlerinin çok zaman alması nedeniyle son yıllarda eski önemini yitirmiştir.

### 2.2.4. Diğer Yöntemler

Kromatografik analiz

Elektrometrik (Polarografik, Amperometrik, Kulometrik, vs.)



Gravimetrik Yöntem

Mikrometrik Yöntem

Radyometrik Yöntem

Spektrografik (Emisyon) Analiz

Titrimetrik Yöntem

X-ışını (Flüoresans) Analiz Yöntemi

### 2.3. SÜREKLİ FİMLERDE ELEKTRİKSEL İLETKENLİK

Drude-Lorentz-Sommerfeld serbest elektron teorisine göre, metallerin elektriksel iletkenliği, (9,10).

$$\sigma = \frac{n e^2 l}{m v} \quad 2.2$$

olarak verilir. Burada n birim hacimdeki serbest elektron sayısıdır.

$$n = \frac{8 \pi}{3} \left( \frac{m v}{h} \right)^3 \quad 2.3$$

Burada e elektron yükü, m elektronun efektif kütlesi, v Fermi yüzeyinde elektronun ortalama hızı, l iletkenlik elektronları için ortalama serbest yol, h Planck sabitidir.

Metalin elektriksel iletkenliği, l ile doğru orantılıdır. Elektron-fonon etkileşmesinin durulma zamanı  $\tau = l/v$  olarak tanımlanır. (2.2) bağıntısından;

$$\frac{\sigma}{l} = \frac{1}{\rho l} = \frac{e^2 n}{m v} = \left( \frac{8 \pi}{3} \right)^{1/3} \frac{e^2 n^{2/3}}{h} = 7,1 \cdot 10^7 n^{2/3} \quad 2.4$$

ve

$$\frac{\sigma}{l} = \frac{e^2}{6 \pi^2} \frac{A}{h} \quad A = 4 \pi (3 \pi^2 h)^{2/3} \quad 2.5$$

yazılabilir. Burada  $A$  Fermi yüzeyinin alanıdır.  $\frac{\sigma}{\ell}$  oranı Fermi yüzeyinin alanı ve birim hacimdeki iletkenlik elektronları sayısı yardımıyla hesaplanabilir.

### 2.3.1. BOYUT ETKİSİ (Size effect)

Metal filmin kalınlığı ortalama serbest yol ile karşılaştırılırken mertebede olduğunda film sınırları iletkenlik elektronlarının hareketine geometrik bir sınır koyar; böylece ortalama serbest yol değeri etkilenir. Ortalama serbest yolun geometrik sınırlandırılmasından gelen etkilere "ortalama serbest yol etkisi" veya "boyut etkisi" denir (6,8).

Bu nedenle, ince metal filmin direnci, aynı metalin bulk halinin direnci ile karşılaştırıldığında yüksektir. İlk "size effect" teorisini Thomson önerdi. Serbest elektron modelini kullanarak Fuchs bir teori sundu, bu teori Sondheimer tarafından galvanometrik etkileri de içine alarak genişletildi. Lucas, Fuchs teorisini, farklı spekülarite parametrelerine sahip iki film yüzeyinden saçılma hali için genelleştirdi. Fuchs teorisi, iletkenlik elektronlarının dağılımı için Boltzmann denkleminin kullanıldığı istatistik analizdir. Chambers (3), aynı problemi basit kinetik teori kabullerini kullanarak formüle etti. Chambers'in yaklaşımı Ham ve Mattis tarafından sferoidal enerji yüzeylerine, Price tarafından ise, yarı metalleri açıklayabilmek için elipsoidal enerji yüzeylerine genişletildi. Kaganov ve Azbel iletkenlik ve galvanometrik etkiler için genellesştirilmiş ifadeleri kullandılar. Bu ifadeler, deneysel sonuçlarla karşılaştırmak için oldukça kompleksidir. Soffer, Chambers-Price yaklaşımından, herhangibir gelişigüzel bant yapısı için iletkenlik, anizotropik durulma zamanı ve keyfi büyülükteki spekülarite parametresi için genelleştirilmiş bir ifade türretti. Bu kısımda kısaca serbest elektron modelinin kullanıldığı basit Fuchs teorisi verilecektir.

12

İletkenlik elektronlarının dağılım fonksiyonu  $f$  Boltzmann denklemiyle ifade edildi.  $f$  deki değişimler dış alanlardan ve çarpışmalardan ileri gelmektedir.  $\vec{E}$  elektrik ve  $\vec{H}$  magnetik alanlarının varlığı halinde Boltzmann denklemi yarı serbest elektronlar için:

$$-\frac{e}{m} (\vec{E} + \vec{v} \times \vec{H}) \cdot \nabla_v f + v \cdot \nabla_r f = \left( \frac{\partial f}{\partial t} \right)_{\text{çarp.}} \quad 2.6$$

Şeklinde yazılabilir. Burada  $m$  efektif kütle,  $f$  ise  $v$  hız vektörünün ve  $r$  yer vektörünün Fermi-Dirac fonksiyonudur.

Boyut etkisinin analizi, aslında (2.6) denklemindeki iletkenlik elektronlarının uzayda üniform olmayan dağılımını hesaba katan  $\nabla_v f$  terimidir.  $(\frac{\partial f}{\partial t})_{\text{çarp.}}$  terimi ise,  $\tau$  durulma zamanı göz önüne alınarak bulunabilir.  $f_0$  dış kuvvetler kalkıldığı zamanki dağılım fonksiyonu olmak üzere, denge kurulduğunda,

$$(f - f_0)_t = (f - f_0)_{t=0} e^{-t/\tau} \quad 2.7$$

$$\frac{\partial f_0}{\partial t} = 0 \quad \text{olduğundan}$$

$$\left( \frac{\partial f}{\partial t} \right)_{\text{çarp.}} = - \frac{f - f_0}{\tau} \quad \text{icin olani sira olur.} \quad 2.8$$

yazılabilir.

$v$  elektronların ortalama hızı ise buna karşılık ortalama serbest yol  $\ell = v\tau$  olarak tanımlanır. Ortalama serbest yol rastgele dağılmış safsızlık atomlarında saçılalar ve sıcaklık Debye sıcaklığının üstünde ise örgü titresimi sebebiyle saçılmalara dayanarak tanımlanır.

(2.6) denklemi tek boyut için çözülebilir. Z eksenine dik olarak yerleştirilmiş t kalınlığındaki filme x eksenin doğrultusunda bir alan uygulanmış olsun. Bu durumda dağılım fonksiyonu,

$$f = f_0 + f_1(v, z) \quad 2.9$$

formunda yazılabılır. E ile f çarpımını ihmal ederek (bu Ohm kanunundan sapmanın ihmaliidir) Boltzmann denklemi,

$$\frac{\partial f_1}{\partial z} + \frac{f_1}{\tau v_z} = \frac{\vec{eE}}{mv_z} - \frac{\partial f_0}{\partial v_x} \quad 2.10$$

şekline indirgenebilir. Bu denklemin genel çözümü:

$$f_1(v, z) = \frac{\vec{eE}\tau}{m} \frac{\partial f_0}{\partial v_x} \left[ 1 + F(v) \exp \left( \frac{-z}{\tau v_z} \right) \right] \quad 2.11$$

dir. Burada  $F(v)$ ,  $v$  nin sınır şartlarında belirlenen keyfi fonksiyonudur.

Sınır şartları difüz saçılma kabul edilerek seçilsin.(Difüz saçılma kabülü, her serbest yol, yüzeyde bir çarpışmayla son buluyor demektir.) Bu durumda, her bir yüzeyden ayrılan elektronların dağılım fonksiyonu doğrultudan bağımsız olur ve yüzey saçılması için olan durulma prosesi bulk hali için olanla aynı olur.

$$f_1(v, 0) = 0 \quad (\text{Bütün } v \text{ ler için})$$

Böylece,  $v_z > 0$  ve

$$f(v, t) = 0 \quad (\text{Bütün } v \text{ ler için})$$

$v_z < 0$  olur. (genellikle yüzeyde geçerli, ancak yüzeyde yoksa)

Böylece  $f$  için iki değer bulunur. Elektronlar yüzeyden ayrılmıslarsa ( $v_z > 0$ ) veya yüzeye doğru gidiyorlarsa ( $v_z < 0$ )'dır. 0 halde,

$$f_1^+ (v, z) = \frac{eE\tau}{m} \frac{\partial f_o}{\partial v_x} \left[ 1 - \exp \left( -\frac{z}{\tau v_z} \right) \right] \quad (v_z > 0)$$

ve

2.12

Cökme filmleri

$$f_1^- (v, z) = \frac{eE\tau}{m} \frac{\partial f_o}{\partial v_x} \left[ 1 - \exp \left( \frac{t-z}{\tau v_z} \right) \right] \quad (v_z < 0)$$

yazılabilir. Verilen bir  $z$  pozisyonu için akım yoğunluğu,

$$j(z) = -2e \left( \frac{m}{h} \right)^3 \iiint v_x f_1^- dv_x dv_y dv_z$$

2.13

şeklinde yazılır. Bu ifade  $v$  uzayında ( $v, \theta, \phi$ ) polar koordinatlar kullanılarak basitleştirilebilir. ( $v_z = v \cos \theta = \frac{v}{a}$  ve  $f_o$ 'ın sadece  $v$ 'nin büyüklüğüne bağlı olduğu düşünülmerek). Toplam akım yoğunluğu (2.13) denkleminin  $z$ 'e göre integre edilmesiyle elde edilir. Bulk metal için akım yoğunluğu  $j_o$ , (2.13) denkleminde  $z = \infty$  konarak bulunur. Etkin iletkenlik  $\sigma = \frac{j}{E}$  olduğundan, iletkenliklerin oranı,

$$\frac{\sigma_B}{\sigma_F} = \frac{\rho_F}{\rho_B} = \frac{\phi(\gamma)}{\gamma}$$

2.14

$$\gamma = \frac{t}{\ell} \quad \text{ve}$$

$$\frac{1}{\phi(\gamma)} = \frac{1}{\gamma} - \frac{3}{8\gamma^2} + \frac{3}{2\gamma^2} \quad \int_1^\alpha \left( \frac{1}{a} - \frac{1}{5a} \right) e^{-\gamma a} da$$

2.15

Limitte büyük  $\gamma$  lar için: (genellikle  $\gamma \gg 1$  için geçerli, ancak  $\gamma = 1$  için de yaklaşır),

$$\frac{\sigma_B}{\sigma_F} = \frac{P_F}{P_B} \cong 1 + \frac{3}{8\gamma} \quad (\gamma \gg 1) \quad \text{2.16}$$

yazılabilir.

(2.16) denklemi literatürde Planck-Weale veya Nordheim bağıntısı olarak bilinmektedir.

Cok ince filmler için:

$$\frac{\sigma_B}{\sigma_F} \cong \frac{4}{3\gamma [\ln(1/\gamma) + 0,4228]} \quad (\gamma \ll 1) \quad \text{2.17 a}$$

Bu bağıntı, (2.14) denkleminde tanımlanan formda bu durumda:

$$\frac{\sigma_B}{\sigma_F} \cong \frac{4}{3\gamma \ln(1/\gamma)} \quad \text{2.17 b}$$

şeklinde de yazılabilir.

Bu tartışmada yüzeylerdeki saçılımanın tamamiyle difüz olduğu kabul edildi. Her iki yüzeyden elektronların P oranında speküller saçılığı da düşünülebilir. Speküller saçılan elektronların z ekseni boyunca hız bileşenleri olacak, diğerleri sürüklendirme hızlarını tamamıyla kaybetmiş olacaklardır. (Sürüklendirme hızlarını kaybeden elektronların saçılması difüzdür). Basitleştirilmek amacıyla P= sabit farzedildi. Elektronların dağılım fonksiyonları,

$$f_o^+ + f_1^+ (v, z) = P [f_o^- + f_1^- (-v_z, 0)] + (1-P) f_o^- \quad z=0 \text{ da}$$

ve

2.18

$$f_o^+ + f_1^+ (v, z=t) = P [f_o^- + f_1^+ (-v_z, t)] + (1-P) f_o^- \quad z=t \text{ de}$$

şeklindedir.

Bu denklemler  $F(v)$ 'yi belirler ve (3.10) denkleminden  $f_1$  in iki değeri için: (14) ve (2.20) denklemlerinden hesaplanan  $\phi_p/\phi_0$  değerleri

$$f_1^+(v, z) = \frac{eE\tau}{m} \frac{\partial f_o}{\partial v_x} \left[ 1 - \frac{1-P}{1-P \exp(-t/\tau v_z)} \exp\left(\frac{-z}{\tau v_z}\right) \right] \quad (v_z > 0)$$

ve

$$f_1^-(v, z) = \frac{eE\tau}{m} \frac{\partial f_o}{\partial v_x} \left[ 1 - \frac{1-P}{1-P \exp(t/\tau v_z)} \exp\left(\frac{t-z}{\tau v_z}\right) \right] \quad (v_z < 0)$$

bulunur.

Etkin iletkenlik önceki gibi hesaplanır. (3.14) denkleminde tanımlanan  $\phi(\gamma)$  fonksiyonu bu durumda:

$$\frac{1}{\phi_p(\gamma)} = \frac{1}{\gamma} - \frac{3}{2\gamma^2} (1-P) \int_1^\infty \left( \frac{1}{a^3} - \frac{1}{a^5} \right) \frac{1-e^{-\gamma a}}{1-P e^{-\gamma a}} da \quad 2.19$$

şeklini alır.  $P=0$  olduğunda (2.19) denklemi (2.15) denklemine dönüştür.  $P=1$  olduğunda da  $\frac{1}{\gamma}$  bulk-metal değerini alır. Bu ifade daha sonra nümerik hesaplamaya uygun bir forma getirilmiştir. (3.18) denklemi limite, kalın ve ince filmler için:

$$\frac{\sigma_B}{\sigma_F} \equiv \frac{\rho_F}{\rho_B} \approx 1 + \frac{3}{8\gamma} (1-P) \quad (\gamma > 1) \quad 2.20$$

ve

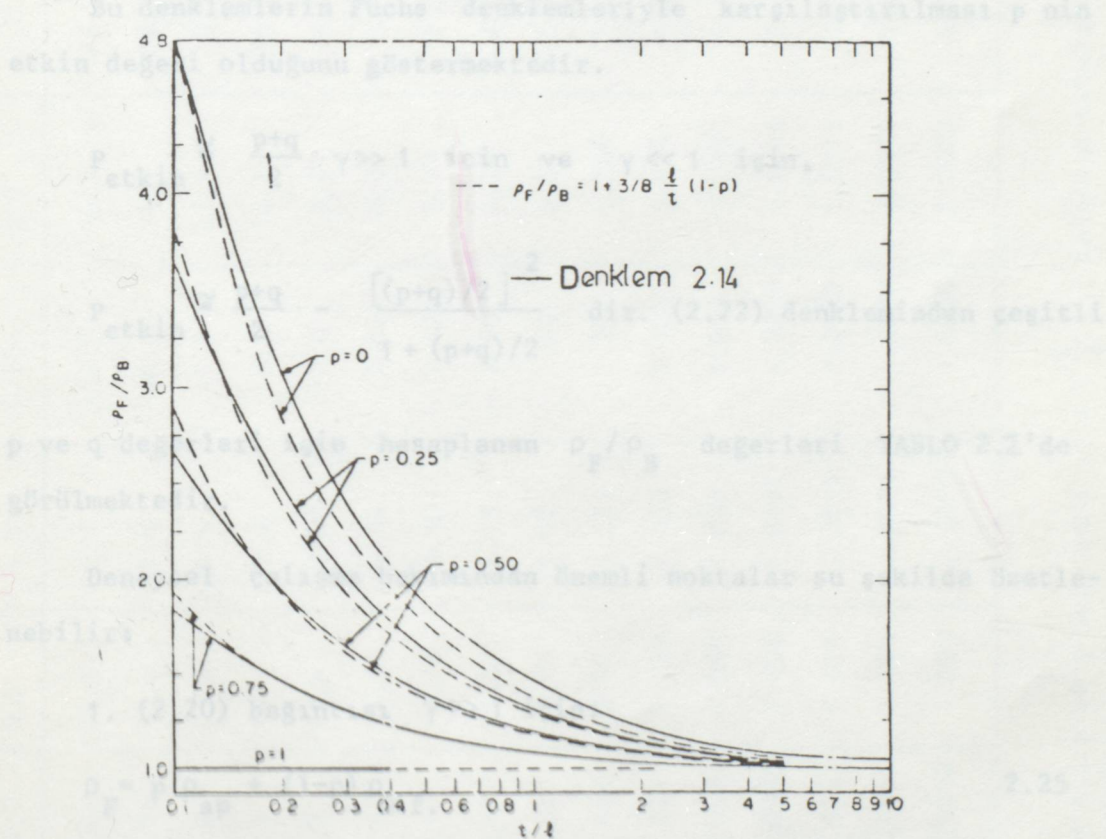
$$\frac{\rho_F}{\rho_B} \cong \frac{4}{3} \frac{1-P}{1+P} \frac{1}{[\ln(1/\gamma) + 0,4228]} \cong \frac{4}{3} \frac{1}{\gamma(1+2P)} \frac{1}{\ln(1/\gamma)}$$

$$(\gamma \ll 1; P \ll 1) \quad 2.21$$

şeklinde yazılabilir.

(2.21) denklemi sadece küçük  $p$  hali ve  $\gamma < 0,1$  için geçerlidir. (2.14) ve (2.20) denklemlerinden hesaplanan  $\rho_F/\rho_B$  değerleri  $\gamma$  nin fonksiyonu olarak çeşitli  $P$  değerleri için (Şekil 2.1)'de görülmektedir. Kesikli eğriler (2.20) den elde edilmiştir. (3) İki eğri takımının karşılaştırılmasından, tam değerden yaklaşık değere geçildiğinde  $\gamma < 0,1$  için maksimum % 7 sapma görülmekte,  $p > 0$  için sapma çok küçülmektedir.  $\gamma = 0,1$  civarında olduğunda (2.20) denklemi yeterli yaklaşıkla kullanılabilir.

Fuchs teorisinde  $p$  her iki yüzey için aynı kabul edilmiştir. Lucas (14) her iki yüzeye farklı saçılma katsayısı  $p$  ve  $q$  alarak iletkenlik oranı için genel bir ifade elde etti.



Şekil 2.3. Saçılma katsayısı  $p$  nin çeşitli değerleri için ( $t/\ell$ ) normalize edilmiş kalınlık ile  $\rho_F/\rho_B$  film-bulk özdirenç oranının teorik değişimi.

$$\frac{\sigma_F}{\sigma_B} = 1 - \frac{3}{4\gamma} \int_1^\infty \left( \frac{1}{3} - \frac{1}{a} \right) \frac{1-e^{-\gamma a}}{1-pqe^{-2a}} [2-p-q + (p+q-2pq)e^{-\gamma a}] da \quad 2.22$$

Bu denklemin asimtotik formu:

$$\frac{\sigma_F}{\sigma_B} = 1 - \frac{3}{8\gamma} \left( 1 - \frac{p+q}{2} \right) \quad (\gamma \gg 1) \quad 2.23$$

ve

$$\frac{\sigma_F}{\sigma_B} = \frac{3}{4} \frac{(1+p)(1+q)}{(1-pq)} \gamma \ln \frac{1}{\gamma} \quad (\gamma \ll 1) \quad 2.24$$

dir.

Bu denklemlerin Fuchs denklemleriyle karşılaştırılması p nin etkin değeri olduğunu göstermektedir.

$$p_{\text{etkin}} \cong \frac{p+q}{2} \quad \gamma \gg 1 \text{ için ve } \gamma \ll 1 \text{ için,}$$

$$p_{\text{etkin}} \cong \frac{p+q}{2} - \frac{[(p+q)/2]^2}{1+(p+q)/2} \quad \text{dir. (2.22) denkleminden çeşitli}$$

p ve q değerleri için hesaplanan  $\rho_F / \rho_B$  değerleri TABLO 2.2'de görülmektedir.

Deneysel çalışma bakımından önemli noktalar şu şekilde özetlenebilir:

1. (2.20) bağıntısı  $\gamma \gg 1$  için:

$$\rho_F = p \rho_{sp} + (1-p) \rho_{Dif.} \quad 2.25$$

şeklinde yazılabilir. Burada  $\rho_{sp} \equiv \rho_B$  speküler saçılma özdirenci ve  $\rho_{Dif.} = \rho_B (1 + 3/8 \gamma) = \rho_B + \rho_D$  difüz saçılma özdirencidir. Burada

$\rho_D = (3/8 \gamma) \rho_B$ ,  $p=0$  için yüzey saçılma katkısıdır. O halde bilinen  $\rho_{sp}$  ve  $\rho_{Dif.}$  değerleri gözlenen  $\rho_F$  verileriyle karşılaştırıla-

$$\frac{\sigma_F}{\sigma_B}$$

Tablo 2.2. Cesitli p ve q degerleri icin ( $\frac{t}{\varrho}$ ) kalinlik-ortalama serbest yol oraninin fonksiyonu olarak oziletkenlik orani.

Tablo 2.2. Cesitli p ve q degerleri icin ( $\frac{t}{\varrho}$ ) kalinlik-ortalama serbest yol oraninin fonksiyonu olarak oziletkenlik orani.

$t/\varrho$	$\sigma_F / \sigma_B$					
	$p = 0$	$0$	$0$	$0.25$	$0.25$	$0.25$
$q = 0.0$	$0.5$	$1.0$	$0.25$	$0.5$	$1.0$	$0.5$
0.001	179.0	128.0	99.5	118.0	96.2	66.3
0.002	99.5	71.5	55.8	66.3	54.1	37.6
0.005	46.6	33.8	26.5	31.5	25.9	18.2
0.01	26.5	19.4	15.3	18.2	15.1	10.8
0.02	15.3	11.4	0.09	10.8	9.01	6.55
0.05	7.73	5.91	4.78	5.63	4.81	3.62
0.1	4.78	3.76	3.10	3.62	3.15	2.46
0.2	3.10	2.52	2.13	2.46	2.20	1.79
0.5	1.92	1.66	1.46	1.64	1.52	1.33
1.0	1.462	2.331	1.221	1.327	1.266	1.159
2.0	1.221	1.159	1.103	1.159	1.130	1.075
5.0	1.081	1.060	1.039	1.060	1.049	1.029
10.0	1.0390	1.028	1.0191	1.0289	1.0240	1.0143
20.0	1.0191	1.014	1.0095	1.0143	1.0119	1.0071
50.0	1.0076	1.005	1.0038	1.0057	1.0047	1.0028
100.0	1.0038	1.002	1.0019	1.0028	1.0023	1.0014

rak p bulunabilir.

2. Boyut etkisini gözönüne alarak etkin serbest yol  $\ell_{etkin}$  tanımı yapılabilir. Böylece filmin öz iletkenliği,

$$\sigma_F = \frac{1}{\rho_F} = \frac{n e^2 \ell_{etkin}}{mv}$$

şeklinde yazılır. (2.20) ve (2.21) denklemlerinden:

$$\ell_{etkin} = \frac{\ell}{1 + (3/8\gamma)(1-p)} \quad (\gamma \gg 1) \quad 2.26$$

ve

$$\ell_{etkin} = \frac{3}{4} \frac{1+p}{1-p} t \ln \frac{1}{\gamma} \quad (\gamma \ll 1) \quad 2.27$$

yazılabilir.

Filmelerde, iletkenliğe katkısı olan elektronlar yaklaşık olarak film yüzeyine paralel gittiklerinden ortalama serbest yol bulk halindeki ortalama serbest yol mertebesinde kalır.

3. Film yüzeyleri ve örgünün katkısına ek olarak, safsızlıklar ve film içindeki yapı hataları da iletkenlik elektronlarının saçılmasına neden olur. Matthiessen kuralına göre çeşitli elektron saçılma prosesleri (öz iletkenlige katkıları olduğu için) toplanabilirdir.

$$\rho_F = \rho_B + \rho_s + \rho_I \quad 2.28$$

$\rho_B$ ,  $\rho_s$  ve  $\rho_I$  sırasıyla ideal örgü, yüzey saçılması ve safsızlıklarla birlikte kusurları içeren özdirenç terimleridir. Öz dirence ilave katkılar ferromagnetik yüzeylerde ve elektrostatik yüklü yüzeylerde meydana gelir.

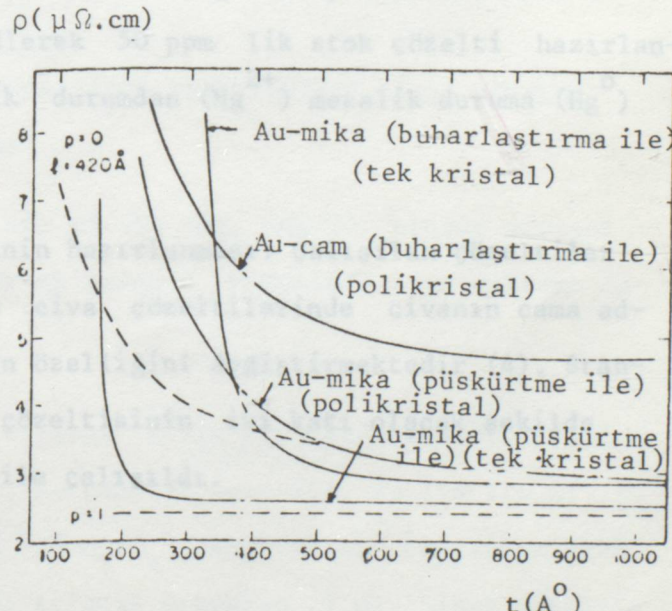
$\rho_I$  kalınlığa bağlıdır. Filmin oksitlenmeye ve kirlenmeye eğilimi kalınlık bağımlılığının sonucudur. Bu durum, film özdirençinin kalın-

lüga bağlı analizini zorlaştırmır.

4. Filmler için iletkenlik-boyut etkisi ifadelerinde  $p$ ,  $\ell$  ve  $\rho_B$  üç transport parametresidir. Bu üç parametrenin doğrudan iletkenlik-film kalınlığı verilerinden elde edilmesi mümkün değildir. İki limit hal için basitleştirme yapılır.  $\gamma > 1$  için  $\rho_F$  nin  $1/t$  ye göre değişimi çizilir. Bu, ekseni  $\rho_B$  'de kesen bir doğrudur. Eğimi  $\frac{3}{8} \rho_B \ell (1-p)$ 'dır. Böylece,  $\rho_B$  ve  $\ell (1-p)$  değerleri bulunur. Benzer olarak  $\gamma \ll 1$  için  $\frac{1}{\rho_F t}$  ile  $\ln t$  değişimi çizilir. Bu da ekseni  $(3/4 \rho_B) [(1+p)/(1-p)] [\ln \ell / \ell]$  de kesen bir doğrudur. Eğimi  $3/4 (1/\rho_B) [(1+p)/(1-p)]$  dir. Böylece,  $\rho_B$ ,  $\ell$  ve  $(1+p)/(1-p)$  belirlenebilir.  $\gamma > 1$  bölgesinde  $p$  nin seçimi o derece önemli değildir (Şekil 2.3). Her atomdaki elektron sayısı biliniyorsa  $\rho_B$  den  $\ell$  hesaplanabilir, buradan da  $p$  değerine geçilir.

### 2.3.2. ALTIN FİLMİN ELEKTRİKSEL İLETKENLİĞİNİN KALINLIĞA BAĞLILIĞI

Elektriksel iletkenlikte boyut etkileri, ortalama serbest yol ve yüzey saçılma parametrelerinin tayini için incelenmektedir (3,6,8). Yaklaşık  $300 \text{ Å}^0$  den daha kalın filmler için özdirencin film kalınlığının dan bağımsız olduğu Şekil 2.4'de görülmektedir. Bu değerler, ortalama serbest yolun  $420 \text{ Å}^0$  lük değerinden küçüktür. O halde, yaklaşık mükemmel speküler saçılma ( $p=1$ ) kabul edilebilir.



Şekil 2.4. Altın filmin elektriksel özdirençinin kalınlığa bağlılığı (3) (Kesikli çizgiler teorik speküller ve difüz saçılma

### 3. BÖLÜM

#### İNCE ALTIN FİLMİN CİVA DEDEKTÖRÜ OLARAK KULLANILMASI

##### 3.1. İNCE ALTIN FİMLERİN FLDE EDİLMESİ

İnce filmler vakumda ( $10^{-5}$  torr) buharlaştırma yöntemiyle elde edildi. Taşıyıcı olarak cam (mikroskop lamı) kullanıldı. Cam taşıyıcılar film elde edilmeden evvel  $150^{\circ}\text{C}$  e kadar ısıtıldı. Film kalınlıkları ( $800-2500\text{A}^{\circ}$ ) arasında idi. Kalınlık Tolansky yöntemiyle (altın film üzerine gümüş kaplayarak girişim flanjlarının kaymasından) ve geçirgenlik ölçülerek iki ayrı yöntemle tayin edildi. Örnek boyutları ( $6 \text{ cm} \times 2,5 \text{ cm}$ ) idi. Elde edilen filmler  $150^{\circ}\text{C}$  de 2 saat fırınlandıktan sonra kullanıldı.

##### 3.2. ÇÖZELTİ HAZIRLANMASI

3.2.1. Standart civa çözeltisi:  $67,7 \text{ mg}$  civa (II) klorür 1 l  $0,5 \text{ N}$  hidroklorik asitte çözülerek  $50 \text{ ppm}$  lik stok çözelti hazırlandı. Bu çözeltide civa  $\text{Hg}^{2+}$  halinde idi (4,5).

3.2.2. Standart kalay çözeltisi:  $50 \text{ mg}$  kalay (II) klorür 1 l  $2\text{N}$  hidroklorik asitte çözülerek  $50 \text{ ppm}$  lik stok çözelti hazırlandı. Bu çözelti civayı iyonik durumdan ( $\text{Hg}^{2+}$ ) metalik duruma ( $\text{Hg}^0$ ) indirmek için kullanıldı.

3.2.3. Seyreltik çözeltinin hazırlanması: Çalışılan çözeltiler günlük hazırlandı. (Seyreltik civa çözeltilerinde civanın cama adsorbsiyonu zamanla çözeltinin özelligini değiştirmektedir (4). Standart kalay çözeltisi civa çözeltisinin iki katı olacak şekilde kullanıldı ve  $50 \text{ ml}$  çözelti ile çalışıldı.

##### 3.3. YAPILAN ÖLÇÜMLER

Direnç, LCR Databridge 401 ölçü aleti kullanılarak 15 dakikalık aralıklarla ölçüldü. Önce film saf suya daldırılarak 6 saat

süre ile izlendi, dirençte bir değişim olmadı. "ppm" mertebesinde hazırlanan çeşitli konsantrasyonlar için direncin zamana bağlı değişimi incelendi, aynı şartlar altında deneyin tekrarlanabilir olduğu tesbit edildi. Şekil 3 (1-6)'da sonuçlar görülmektedir.

Film kalınlığı değiştiği zaman eğrinin gidişi değişmemekte, ancak kalınlığa bağlı olarak olayın hızı değişmektedir Şekil 3.7.

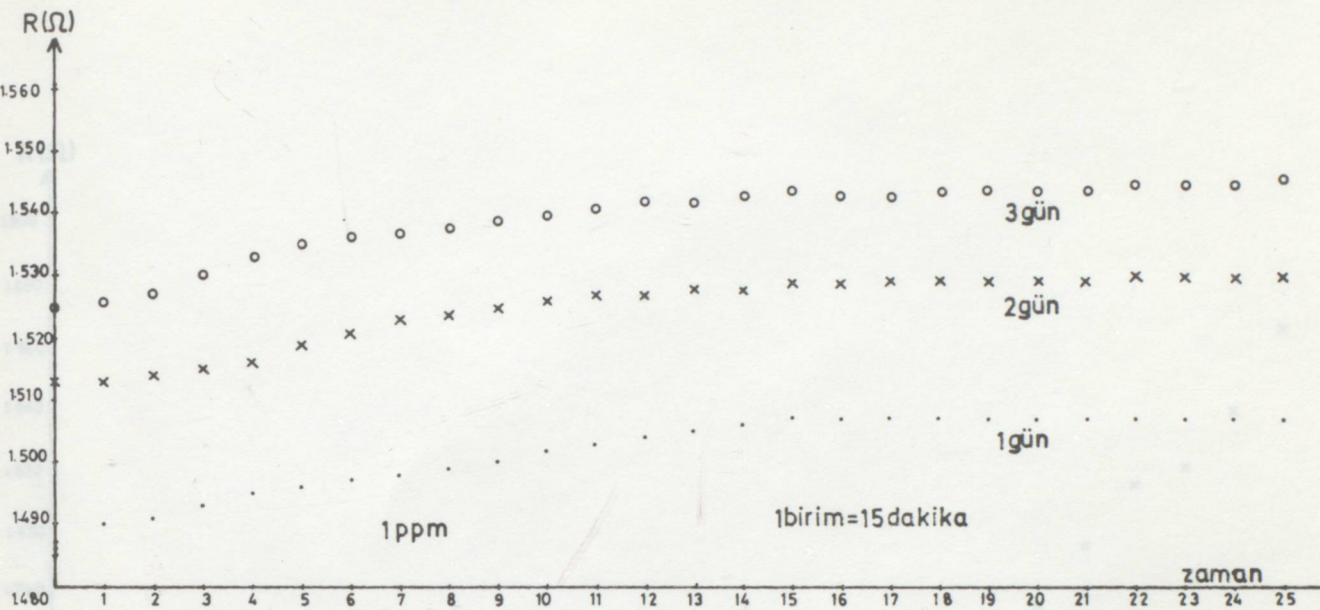
Aynı film birer saat aralıklarla hazırlanan aynı konsantrasyonlu çözeltide 3 saat süre ile kullanılarak ölçüm yapıldı Şekil 3.8. Eğrinin eğiminin değişmesi zamana bağlı olarak filmde civa depolandığını göstermektedir.

Daha sonra "ppb" mertebesindeki konsantrasyonlar hazırlanarak direnç değişimi gözlandı Şekil 3.9. Burada film farklı konsantrasyonları ayıramamaktaydı. "ppb" mertebesinde bu grup filmlerin duyar olmaması sebebiyle yeniden film elde edildi, direnç değişimi x-y kaydedicisi yardımıyla incelendi.(Sistem, potansiyometre yardımıyla sadece civa toplamasından oluşan farklar kaydedilecek ve zaman eksenin 1 cm = 10 dak. olacak şekilde ayarlandı). Sonuçlar Şekil 3.10' da görülmektedir.

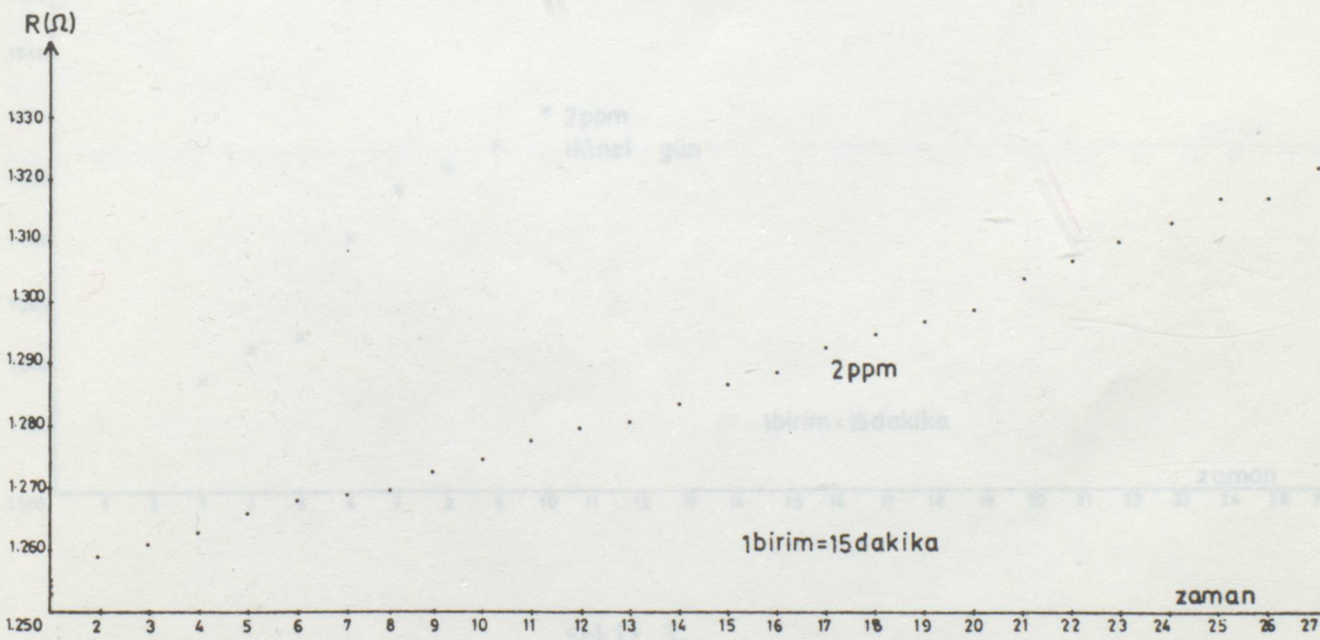
#### 3.4. ÖLÇÜLERİN ATOMİK ABSORBSİYON SPEKTROMETRE (AAS) YÖNTEMİ İLE KARŞILAŞTIRILMASI

ÇNAEM deki Perkin-Elmer 403 UV 254 AAS, MHS/10 hidrür sistemi ile kullanılarak çalışılan örneklerden 4 tanesinde civa miktarı tayin edildi (18, 19, 32).

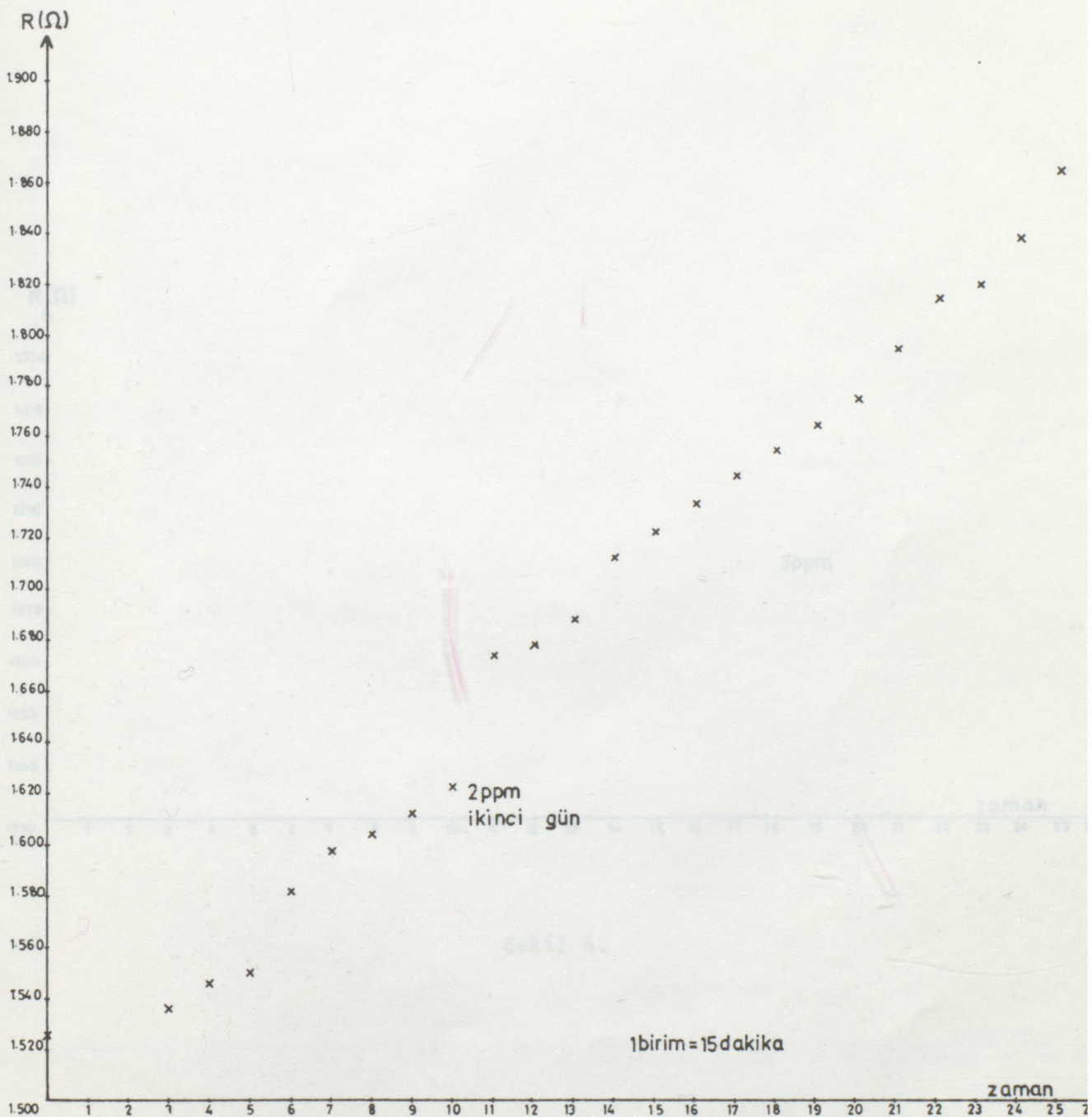
(3 HCl + 1  $\text{HNO}_3$ ) karıştırılarak altın suyu elde edildi. Filmler 20 ml altın suyunda çözülüp, bu çözelti distile su ile 100 ml ye tamamlandı. % 1,5  $\text{HNO}_3$ , % 1,5  $\text{H}_2\text{SO}_4$  yarı yarıya karıştırılarak blank çözelti hazırlandı. Hazırlanan örnekten 1 ml, blank çözeltiden 9 ml alınarak 10 ml 'ye tamamlandı. % 5'lik potasyum permanga-



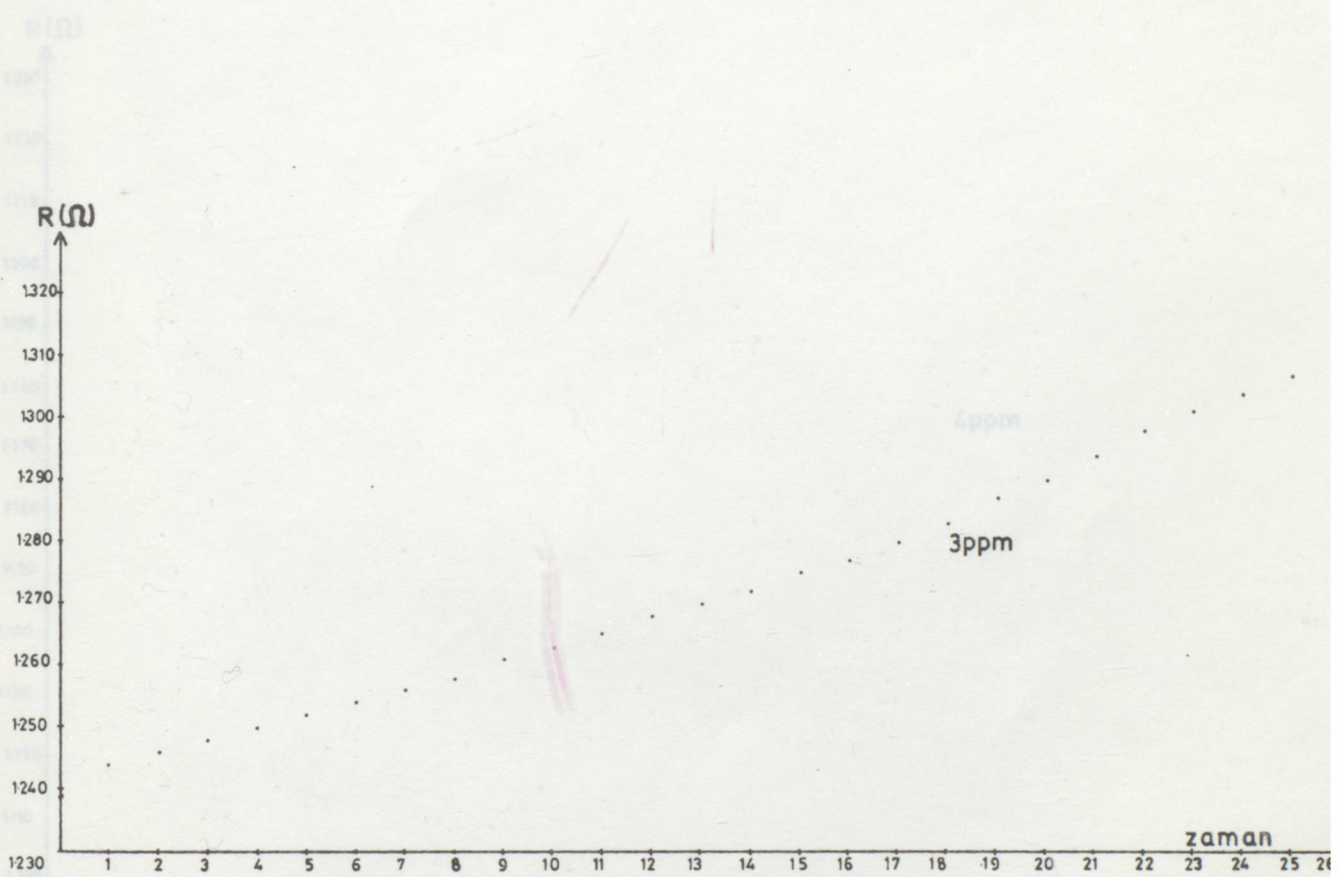
Şekil 1.



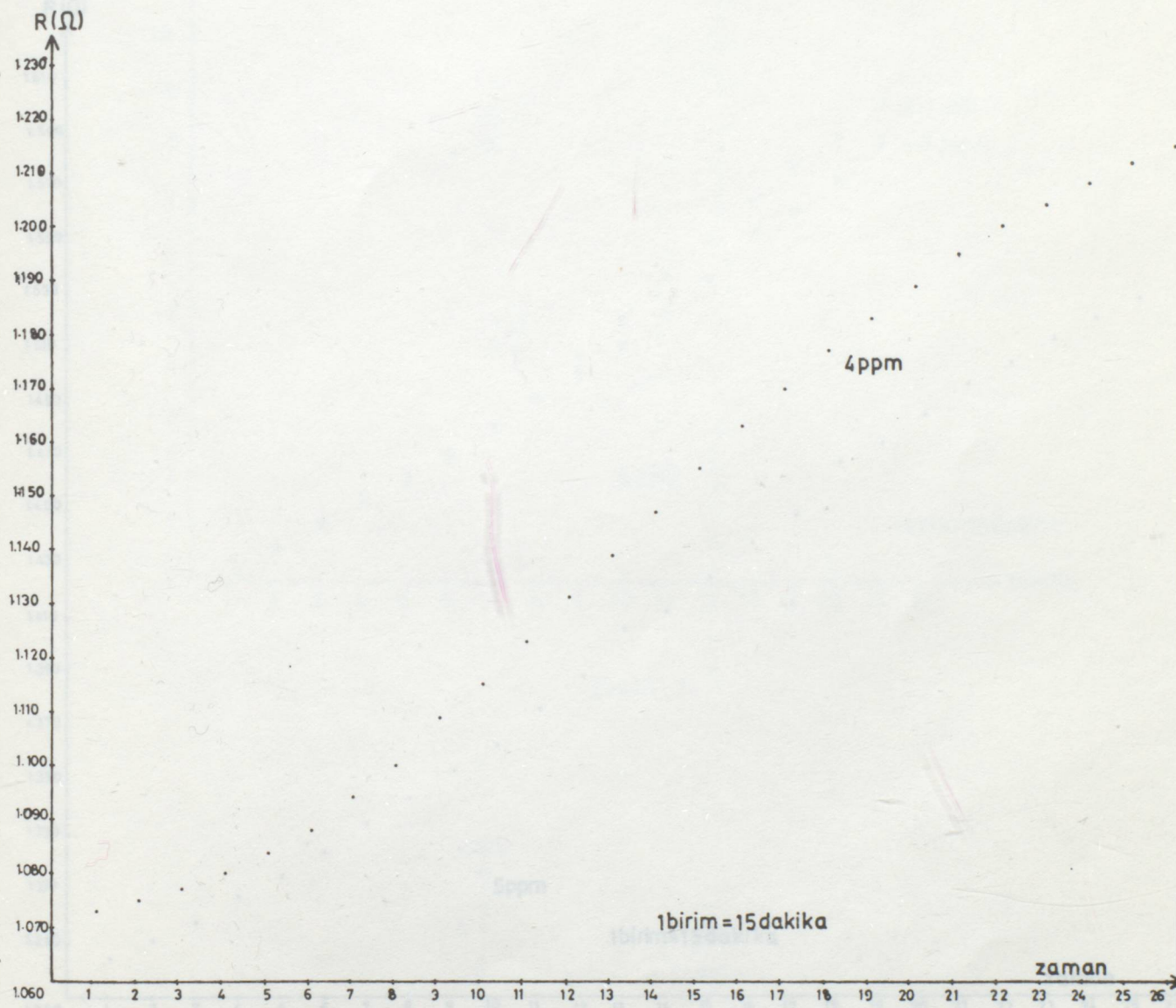
Şekil 2.



Şekil 3.

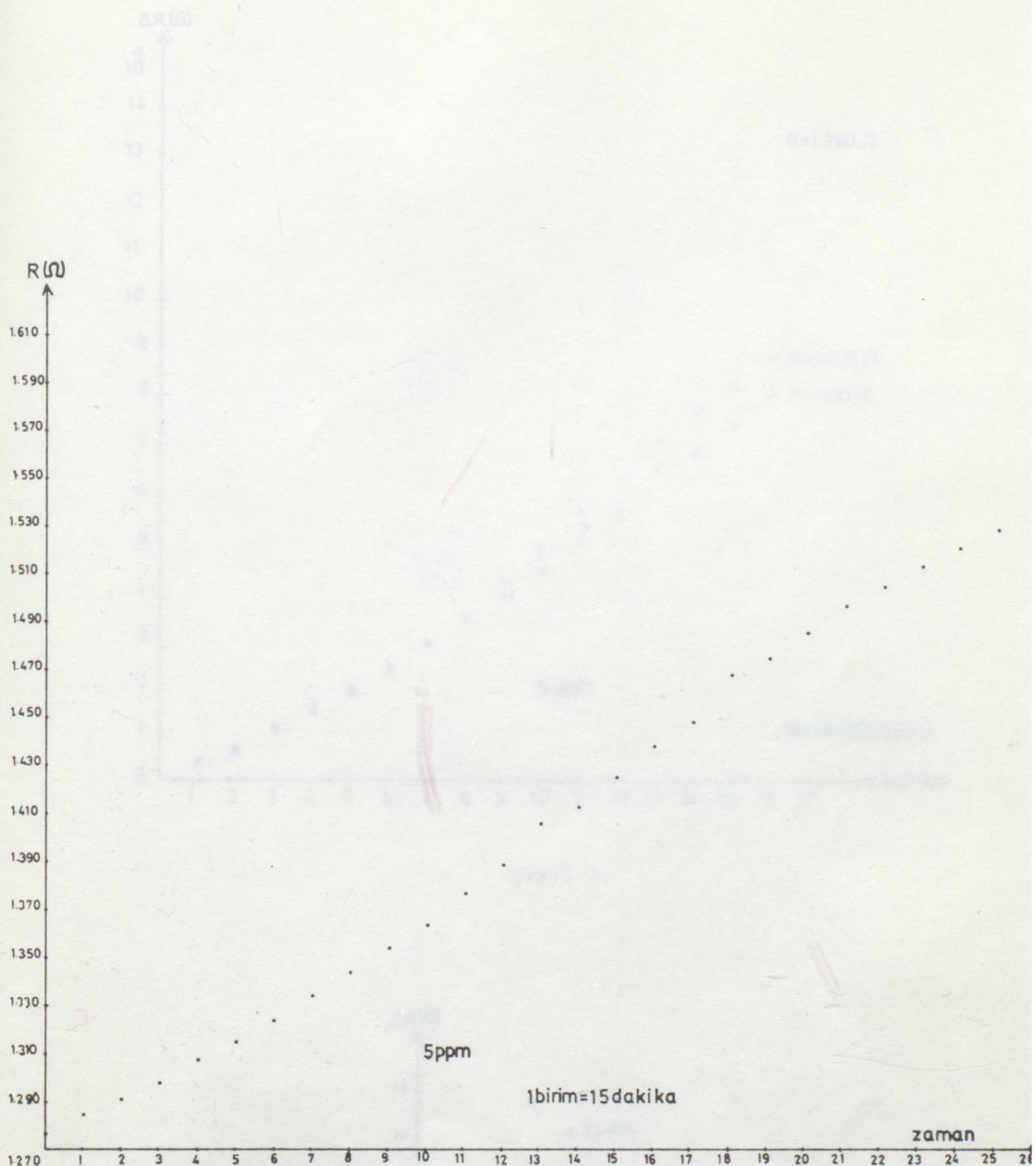


Sekil 4.

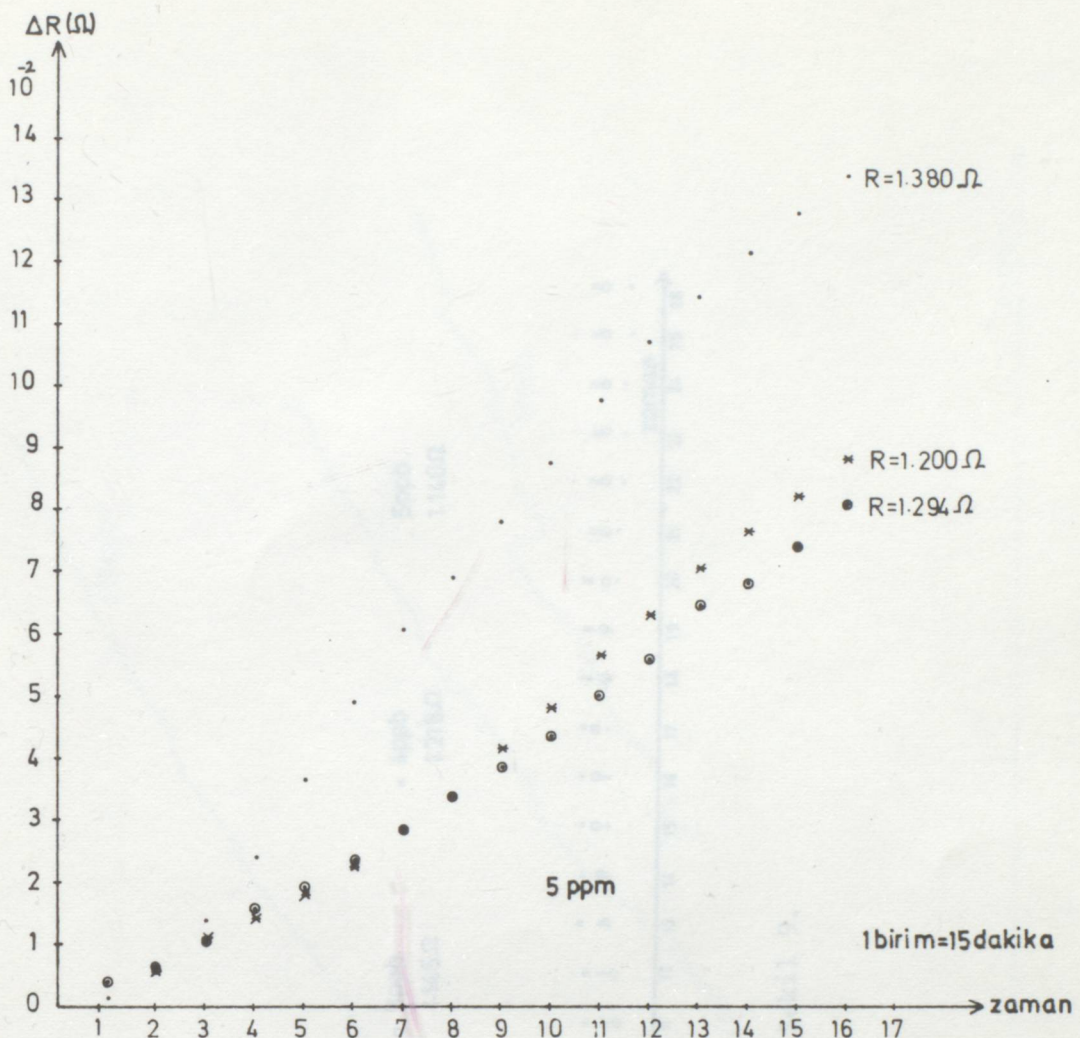


Şekil 5.

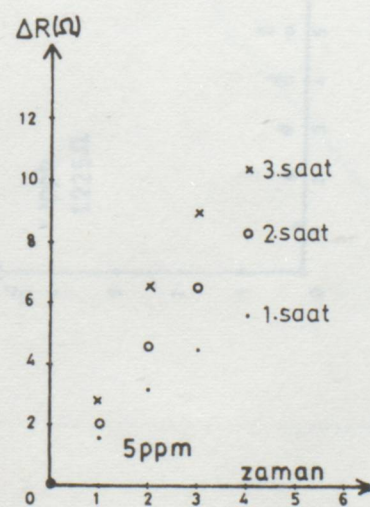
Şekil 6.



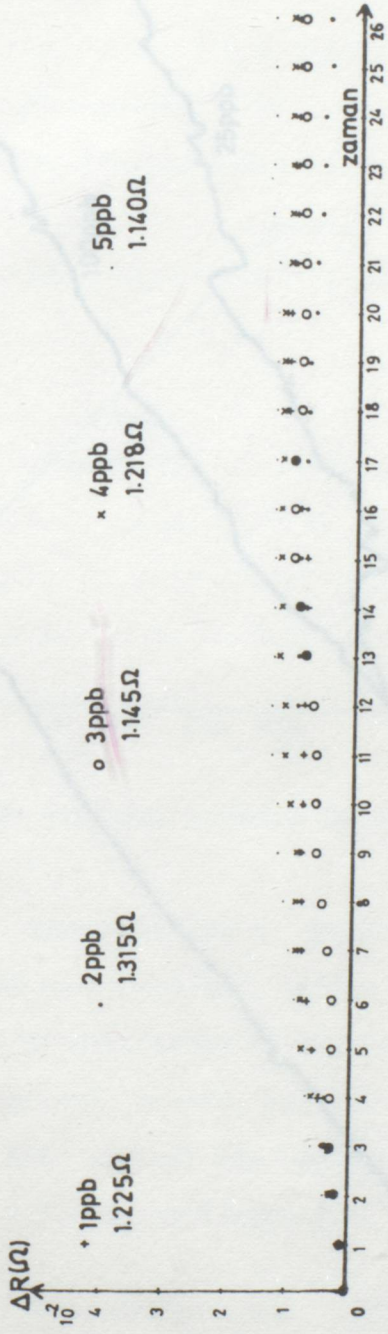
Şekil 6.



Şekil 7.



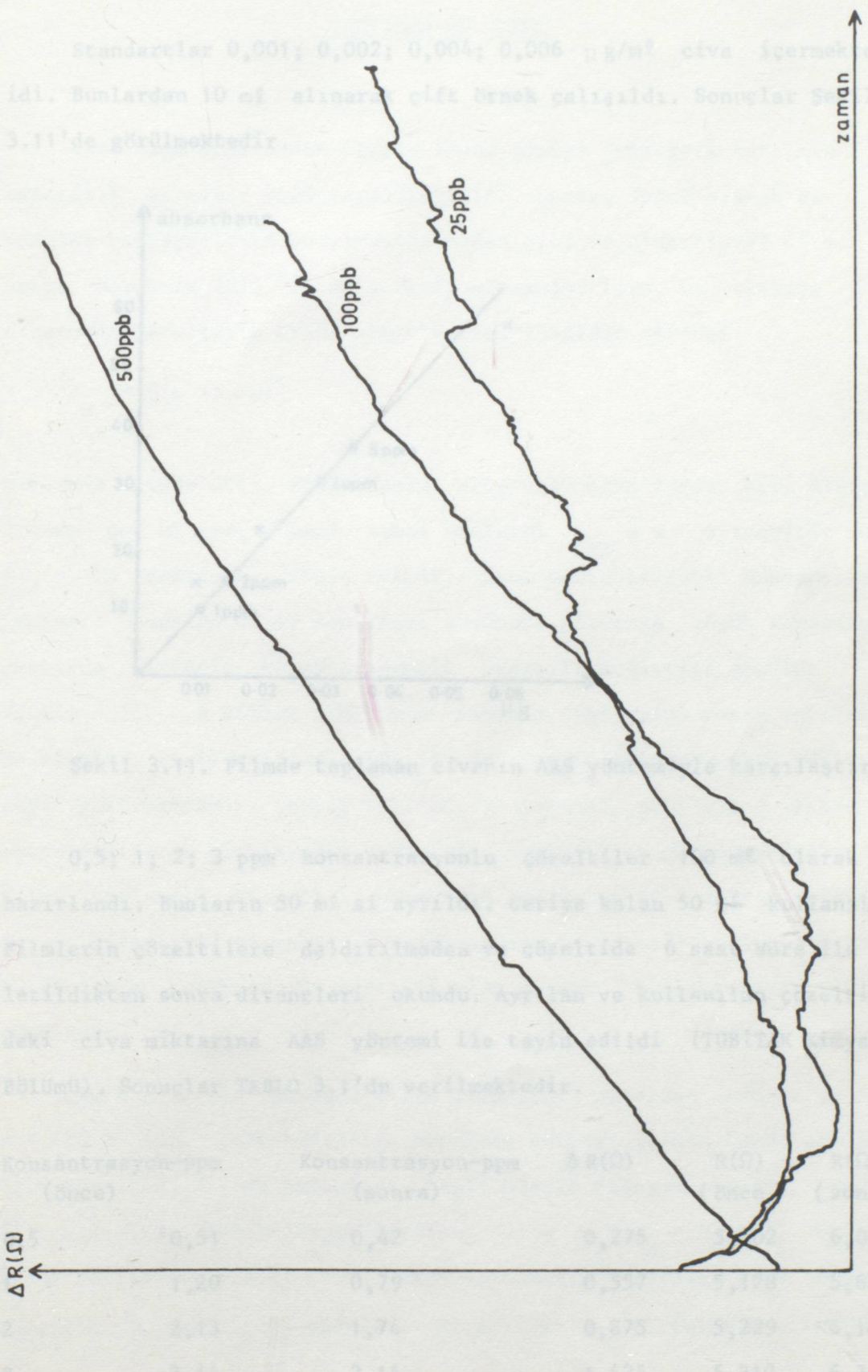
Şekil 8.



Şekil 9.

nattan birer damla eklendi, % 3'luk na BE, % 1'lik nööt içinde hazırlandı.

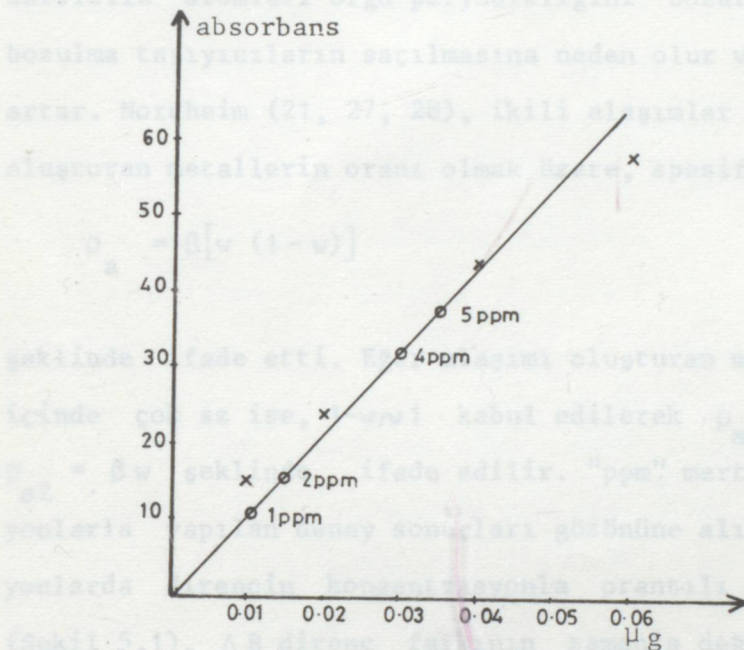
Standartlar 0,001; 0,002; 0,004; 0,006  $\mu\text{g}/\text{m}^3$  civarında were iddi. Bulardan 10'lu sırada cifc brak calındı. Sonuçlar Şekil 3.11'de görülmektedir.



Sekil 10.

nattan birer damla eklendi. % 3'lük  $\text{NaBH}_4$ , % 1'lik  $\text{NaOH}$  içinde hazırlandı.

Standartlar 0,001; 0,002; 0,004; 0,006  $\mu\text{g}/\text{ml}$  civarında içermekte idi. Bunlardan 10 ml alınarak çift örnek çalışıldı. Sonuçlar Şekil 3.11'de görülmektedir.



Şekil 3.11. Filmde toplanan civanın AAS yöntemiyle karşılaştırılması.

0,5; 1; 2; 3 ppm konsantrasyonlu çözeltiler 100 ml olarak hazırlandı. Bunların 50 ml'si ayrıldı. Geriye kalan 50 ml kullanıldı. Filmlerin çözeltilere daldırılmadan ve çözeltide 6 saat süre ile bekletildikten sonra dirençleri okundu. Ayrılan ve kullanılan çözeltilerdeki civa miktarına AAS yöntemi ile tayin edildi (TUBİTAK Kimya Bölümü). Sonuçlar TABLO 3.1'de verilmektedir.

Konsantrasyon-ppm (önce)	Konsantrasyon-ppm (sonra)	$\Delta R(\Omega)$	R( $\Omega$ ) (önce)	R( $\Omega$ ) (sonra)
0,5	0,51	0,275	5,802	6,077
1	1,20	0,557	5,128	5,685
2	2,13	0,875	5,229	6,104
3	3,14	1,425	5,312	6,737

Tablo 3.1

## 4. BÖLÜM

## TARTIŞMA VE SONUÇ

Aynı cins atomlardan oluşan ideal örgüye rastgele katılmış safsızlık atomları örgü peryodikliğini bozar, doğal olarak bu bozulma taşıyıcıların saçılmasına neden olur ve elektriksel direnç artar. Nordheim (21, 27, 28), ikili alaşımalar için,  $w$ , alaşımı oluşturan metallerin oranı olmak üzere, spesifik direnci

$$\rho_a = \beta [w (1 - w)]$$

şeklinde ifade etti. Eğer alaşımı oluşturan metallerden biri diğerinde çok az ise,  $1-w \sim 1$  kabul edilerek  $\rho_{al} \propto w$  alınabilir ve  $\rho_{al} = \beta w$  şeklinde ifade edilir. "ppm" mertebesindeki konsantrasyonlarla yapılan deney sonuçları gözönüne alınırsa küçük konsantrasyonlarda direncin konsantrasyonla orantılı değiştiği görülür (Şekil 5.1).  $\Delta R$  direnç farkının zamanla değişimini veren eğrilerin denklemleri incelendiğinde (Ek.1) değişmenin lineer kabul edilebileceği görülmektedir. (Şekil 4.1)'in incelenmesi, yaklaşık 2 saatden sonra eğrilerin birbirinden tamamiyle ayrıldığını göstermektedir. Filmi, başlangıç direncini okuduktan sonra en az 2 saat çözeltide tutup, direncini okumakla konsantrasyon tayin edilebilir. O halde, bu yöntemle, kalibrasyon eğrileri elde ederek konsantrasyon tayini mümkündür.

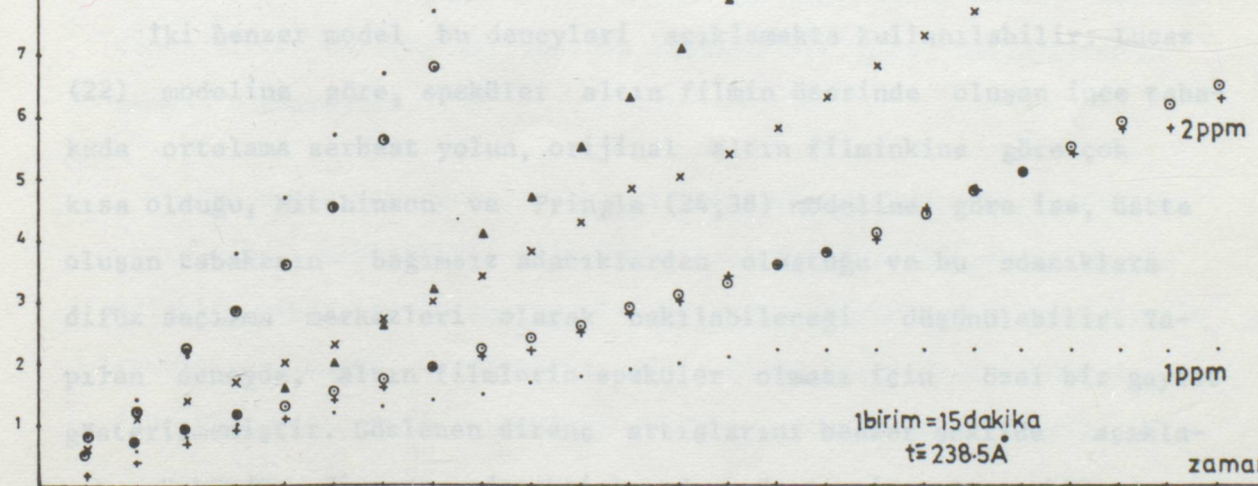
Cam taşıyıcıya alınmış altın film için ortalama serbest yol  $\lambda = 420 \text{ Å}^{\circ}$  dür. Film kalınlığı ortalama serbest yoldan büyük olduğu için spesifik direnç kalınlığa bağlı olarak değişmemektedir. Ancak film kalınlığı, Matthiessen kuralına göre  $\rho_F = \rho_B + \rho_s + \rho_i$  tarzında ifade edilebilen (ideal örgü, yüzey saçılması ve safsızlıktan doğan spesifik direnç) filmin spesifik direncinde  $\rho_i$  terimini etkilemektedir.

$\Delta R (\Omega)$ 

Fuchs teorisi ortalama serbest yolu geometrik sınırlanırmadan ileri gelen kalınlığa bağımlılık için uygulanabilir. Film kalınlığı arttıkça civanın filmde giçmesi aziminde, yani civa miktarının absorbşyonu için geçen zaman artmaktadır. Döşarlıda, ayrıca ortalama serbest yoldan büyük olmak üzere ince filmlerde galip gerekmektedir. "ppb" mertebede koncentrasyonlar için elde edilen eğriler yaklaşık ilk 2,5 saat süreyle birbirlerinden ayrılmamakla anel, daha sonra belirginleşmekteyler. Bu da düşük koncentrasyonlarda film üzerinde civa dağılmının uniform olması biçiminde sağlanır. Film üzerindeki belirginlikler adanaklar ile ilişkili ve bu adanaklar arasında zamanla ortalı bağımlılıkları denez zaman eğrisinde pulsasyona neden olmaktadır (13).

Altın filmin civa dedektörü olarak başarısı, bu filmin civa atomlarına selektif adsorbsiyon ile civa ıncalarının adsorbsiyonundan sonra yüzyede magneziyalık elektronlarının etkisinde büyük artıya bağlanabilir (30, 41).

Yapılan deneyler altın filmde gen ince adanaklarla başka maddelerden (23) olusurken konveksiyon denezi etkisi sayesinde getirdigini göstermektedir. Bu nedenle civa ıncalarının altın ile uyumlansabiliyor mu?



sayide karşıtlıklar olduğu konu edilebilir. Bu bulgular civa so-

Fuchs teorisi ortalama serbest yolun geometrik sınırlanırmasından ileri gelen kalınlığa bağımlılık için uygulanabilir. Film kalınlığı arttıkça civanın filme girginliği azalmakta, aynı civa miktarının adsorbsiyonu için geçen zaman artmaktadır. Duyarlığı artırmak için ortalama serbest yoldan büyük olmak üzere ince filmlerle çalışmak gerekmektedir. "ppb" mertebesinde konsantrasyonlar için elde edilen eğriler yaklaşık ilk 2,5 saat süreyle birbirlerinden ayırdedilemeyecektir ancak, daha sonra belirginleşmekteyler. Bu da düşük konsantrasyonlarda film üzerinde civa dağılımının üniform olmaması biçiminde açıklanabilir. Film üzerinde başlangıçta adacıklar oluşmakta ve bu adacıklar arasında zamanla oluşan bağlantılar direnç-zaman eğrisinde pülsasyona neden olmaktadır (25).

Altın filmin civa dedektörü olarak başarısı, bu filmin civa atomlarına selektif adsorbsiyonu ile civa atomlarının adsorbsiyonundan sonra yüzeyde saçılan iletkenlik elektronlarının sayısındaki büyük artışa bağlanabilir (40, 41).

Yapılan deneyler altın filmde çok ince altın (22) ya da başka maddelerden (23) oluşturulmuş tabakaların dirençte artmalar meydana getirdiğini göstermektedir. Bu artışlar civanın oluşturduğu artışlarla kıyaslanabilir mertebededir.

*Altın film direnci*  
İki benzer model bu deneyleri açıklamakta kullanılabilir: Lucas (22) modeline göre, speküler altın filmin üzerinde oluşan ince tabaka ortalama serbest yolun, orijinal altın filminkine göre çok kısa olduğu, Hutchinson ve Pringle (24,38) modeline göre ise, üstte oluşan tabakanın bağımsız adacıklardan olduğu ve bu adacıklara difüz saçılma merkezleri olarak bakılabileceği düşünülebilir. Yapılan deneyde, altın filmlerin speküler olması için özel bir gayret gösterilmemiştir. Gözlenen direnç artışlarını benzer şekilde açıklamak mümkündür. Civanın adsorbsiyonundan önce, civanın speküler yanındaki mikrobölgeler olduğu kabul edilebilir. Bu bölgeler civa ad-

50

sorbsiyonundan sonra speküler saçılma/difüz saçılma oranını değiştirmeye etkili olurlar.

Bu nedenle yukarıda ayrıntılı olarak açıklandığı gibi, ince altın film, seyreltik çözeltilerde civa konsantrasyonu tayininde dedektör olarak kullanılabilir.

Elektrolitik çökertme esasına dayanan gravimetrik yöntemler, buharlaşma ile kayıpların uygun sınırlarda tutulmasının zorluğu nedeniyle civa için birçok metalden daha az önemlidir. Bu yöntem  $50 \mu\text{g}$  a kadar civa tayinine imkan verir. Titrimetrik yöntemlerle ise ancak makro skalada civa tayini mümkündür. Civa küreciklerinin çapını ölçmeye dayanan mikrometrik yöntemlerle  $0,01 \mu\text{g}$  a kadar civa tayin edilebilir. Ancak bu da deneysel güçlükleri nedeniyle pek elverişli bir yöntem değildir.  $\text{x}$  ışını emisyon ve absorbsyon yöntemlerinde civa birçok elementle kolaylıkla karıştırılabildiği için elverişli değildir.

Bu çalışmada önerilen yöntemle  $25 \text{ ppb}$  ye inmek kolayca mümkündür. (Balık ve kabuklu deniz hayvanlarının yenmesi için güvenirlik limiti  $0,4 \text{ ppm}$ , zehirlenme belirtilerinin başlıyaçağı saç civa derişikliği  $60 \text{ ppm}$  ve güvenirlik limiti  $6 \text{ ppm}$  olduğuna göre bu sınır yeterli sayılabilir.) Fakat, kümülatif miktar tayini için filmin uzun süre çözeltide tutulması gerekmektedir. Ancak, yapılan deneylerdeki çalışma şartlarında korozyon vs. gibi nedenlerle bu mümkün olamamıştır.

Cam taşıyıcıya çok ince bir tabaka halinde krom kaplandıktan sonra altın kaplanması film dayanıklılığını artıracağı için kümülatif miktar tayinine ve alt sınırın düşürülerek hassasiyetin artmasına imkan verebilir. Bu şekilde hazırlanan filmlerin  $150^{\circ}\text{C}'de 0,5$  saat fırınlanması kromun altınla etkileşmesini ön-

**EK 3**

önləyecektir (42).

Başka bir çalışmada önerilen biçimde hazırlanan filmlerle yöntemi denemenin daha seyreltik çözeltilerde kümülatif miktar tayinine imkan vererek yöntemde gelişme sağlanacağı düğünül-mektedir.

16.000 120.000 1240.000 211.000

0.000 340.000 5100.000 443.500

0.000 0.000 5712.000 -229.000

U( 1 ) = 2.0012260

U( 2 ) = 1.9057770

U( 3 ) = -0.09400910

standard hata ==> 0.75955114

KORELASYON KATSAYISI ==> 0.9848537

OK

**2ppm**

16.000 120.000 1240.000 278.000

120.000 1240.000 14400.000 2896.000

1240.000 14400.000 178312.000 33296.000

16.000 120.000 1240.000 278.000

0.000 340.000 5100.000 814.000

0.000 0.000 5712.000 86.000

U( 1 ) = 0.0132547

U( 2 ) = 2.1594540

U( 3 ) = -0.0150560

standard hata ==> 0.4988620

KORELASYON KATSAYISI ==> 0.9966189

OK

EK:1

3ppm

16.000	120.000	1240.000	211.000
120.000	1240.000	14400.000	2026.000
1240.000	14400.000	178312.000	22776.000

---

16.000	120.000	1240.000	211.000
0.000	340.000	5100.000	443.500
0.000	0.000	5712.000	-229.000

---

$U(1) = 2.0012260$   
 $U(2) = 1.9057770$   
 $U(3) = -0.0400910$   
 standard hata ==> .7395114  
 KORELASYON KATSAYISI ==> .9848537  
 Ok

16.000	120.000	1240.000	278.000
120.000	1240.000	14400.000	2896.000
1240.000	14400.000	178312.000	33796.000

---

16.000	120.000	1240.000	278.000
0.000	340.000	5100.000	811.000
0.000	0.000	5712.000	86.000

---

$U(1) = 0.0122547$   
 $U(2) = 2.1594540$   
 $U(3) = 0.0150560$   
 standard hata ==> .4988525  
 KORELASYON KATSAYISI ==> .9986389  
 Ok

## 3ppm

KATNAGAR 16.000 120.000 1240.000 473.000  
 120.000 1240.000 14400.000 4816.000  
 1240.000 14400.000 178312.000 55772.000

-----  
 16.000 120.000 1240.000 473.000  
 0.000 340.000 5100.000 1268.500  
 0.000 0.000 5712.000 87.000

U( 1 ) = 2.1139700  
 U( 2 ) = 3.5024160  
 U( 3 ) = 0.0152311  
 standard hata ===> .9996295  
 KORELASYON KATSAYISI ===> .9981759  
 Ok

## 4ppm

16.000 120.000 1240.000 570.000  
 120.000 1240.000 14400.000 6266.000  
 1240.000 14400.000 178312.000 75554.000

-----  
 16.000 120.000 1240.000 570.000  
 0.000 340.000 5100.000 1991.000  
 0.000 0.000 5712.000 1514.000

## 5ppm

16.000 120.000 1240.000 1072.000  
 120.000 1240.000 14400.000 11438.000  
 1240.000 14400.000 178312.000 135394.000

-----  
 16.000 120.000 1240.000 1072.000  
 0.000 340.000 5100.000 3398.000  
 0.000 0.000 5712.000 1344.000

-----  
 U( 1 ) = 0.2794113  
 U( 2 ) = 6.4647060  
 U( 3 ) = 0.2352941  
 standard hata ===> 1.494843  
 KORELASYON KATSAYISI ===> .9948576  
 Ok

## KAYNAKLAR

1. Özbal, H.; Örstan, A., B.Ü.Dergisi, Kimya Vol.7-1979, p.79-90
2. Hartung, R, Dinman, B.D., "Enviromental Mercury Contamination" Michigan, 1972.
3. K.L.Chopra, "Thin Film Phenomena" Chap.6, Mac-Graw Hill 1969.
4. J.F.Coetze, Treatise on Analytical Chemistry Port II, Section A, Vol.3, p.231-326.
5. Encyclopedia of Industrial Chemical Analysis Vol.16, 1972, p.1-66.
6. O.S.Heavens, "Thin Film Physics" Chap 8, Methuen Coltd, 1970.
7. L.Friberg, D.Vostal, "Mercury in the Environment"
8. T.J.Coutts "Electrical Conduction in Thin Metal Films" Elsevier Scientific Publishing Company, 1974.
9. G.T.Meaden "Electrical Resistance of Metals" Planum Press, 1965.
10. J.P.Suchet "Electrical Conduction in Solid Materials" Pergamon Press, 1975.
11. J.S.Dugdal "The Electrical Properties of Metals and Alloys" Edward Arnold Publishers Ltd. 1977.
12. J.M.Ziman "Electrons in Metals", Taylor Francis Ltd, London, Barnes Noble Inc. New York, 1970.
13. Rose, Shepard, Wulff, "Malzemelerin Yapı ve Özellikleri, Elektronik Özellikler" Bölüm 4, K.Onaran, S.Altıntaş (çeviri) İTÜ Yayınları.
14. Alpagut, O. Elektrokimya, I-II-III H.Ü.Yayınları, 1980.
15. Berkem, A.R. Elektrokimya, İ.Ü.Mühendislik Fak.Yayınları, 1984.

16. İsfendiyaroğlu,A. Elektrokimyanın Prensipleri, İTÜ Yayıncı, 1978.
17. Üneri,S. Elektrokimya, Ankara Üni.F.F.Yayıncı, 1978.
18. C.Kittel, Introduction to Solid State Physics,  
John Wiley Sons, 1976.
19. H.E.Bennet and J.M.Bennet, Michelson Lab. U.S.Naval Ordnance  
Test Station, China Lake, California, USA.
20. V.B.Sandomirskii, Soviet Physics JETP, 25 1, (1967),  
p.101-106.
21. G.I.Epifanov, "Solid State Physics", Chap 6, Mir Publishers,  
Morkow, 1979.
22. M.S.P.Lucas, Appl. Phys. Left.4, 73 (1964).
23. K.L.Chopra and M.R.Randlett, J.Appl. Phys. 38, 3144 (1967).
24. J.C.Mitchinson and R.D.Pringle, ibid, 7, 427 (1971).
25. K.L.Chopra, L.C.Bobb and M.H.Francombe, J.Appl. Phys.34,  
1699 (1963).
26. E.E.Huber,Jr. Appl.Phys.Left. 8,7 (1966).
27. Nicolas S.Bloom and Eric A.Crecelins, Marine Chemistry,  
14 (1983) 49-59.
28. J.K.Hirvonen, W.H.Weisenberger, J.E.Westmoreland and R.A.Meussner.  
Naval Research Lab. Washington, D.C.20390 (1972) (p.37-39).
29. H.Z.Wrembel, Spectrochimica Acta, Vol.41B, No.3, 1986 (p.247-256)
30. Leonard J.Goldwater and Woodhall Stopford, "The Chemical  
Environment" Environment and Man, Vol.6, Chap.2 (p.38-63).
31. F.W.Reynolds and G.R.Stilwell, Phys. Review, 88, 1952 (p.418-419)
32. Marvin J.Fishman, Analytical Chemistry, 42, 12 (1970) 1462-1463.

33. P.E.Doherty and R.S.Dorsett, Analytical Chemistry, 43, 13 (1971)  
1887-1888.
34. Clement Ling. Analytical Chemistry, 39,7, (1967) 798-804.
35. W.W.White and P.J.Murphy, Analytical Chemistry, 49,2 (1977)  
255-256.
36. W.Ronald and Welland L.ott, Analytical Chemistry, 40, 14,  
(1968) 2085-2087.
37. D.H.Anderson, J.H.Evans, P.J.Murphy and W.W.White, Analytical  
Chemistry, 43,11,(1971)1511-1512.
38. C.Weaver and R.M.Hill, Dept.of Natural Philosophy The Royal  
College of Science and Technology, Glasgow p.375-437.
39. F.Bakir, S.F.Damluji and Colleg., Science, Vol.181, (1973)  
230-240.
40. P.J.Leong and H.P.Ong, Analytical Chemistry 43, 7 (1971)  
940-941.
41. J.E.Davey and R.H.Deiter, Journal of Appl. Phys. 36, 1 (1963)  
284-289.
42. J.K.Hirvonen, W.H.Weisenberger, J.E.Westmorland, R.A.Meussner,  
Appl. Phys.Lett. 21, 37 (1972).



## ÖZGEÇMİŞ

Kasım 1949'da Yozgat (Alaca)'da doğdu. İlkokul ve Ortaokulu babasının memuriyeti nedeniyle çeşitli ilçelerde tamamladı. Lise öğrenimini Fatih Kız Liselerinde yaptı. 1967'de girdiği İ.Ü.Fen Fakültesi Fizik Bölümünden 1971'de mezun oldu. Aynı yıl İDMM Akademisine Fizik Asistanı oldu. 1975'de Yeterlik Tezini verdi. Ağustos 1976'da gittiği İngiltere'de 1 yıl kaldı. Newcastle Üniversitesinde Doçentlik Tezi için çalıştı. 1979'da İDMMA Doçentliğine atandı. Halen Yıldız Üniversitesi Fizik Bölümünde Öğretim Üyesi olarak çalışmaktadır.





3  
722  
00000  
\*